

UNIVERSITÀ DEGLI STUDI DI MILANO
FACOLTÀ DI SCIENZE E TECNOLOGIE

DIPARTIMENTO DI INFORMATICA
“GIOVANNI DEGLI ANTONI”



Corso di Laurea in Informatica

ASCON: ANALISI PRESTAZIONALE
DEL NUOVO STANDARD
INTERNAZIONALE PER LA
CRITTOGRAFIA LIGHTWEIGHT

Relatore: Prof. Andrea Visconti

Tesi di Laurea di
Oldani Mattia
Matr. 966668

ANNO ACCADEMICO 2022-2023

Indice

Indice	i
1 Introduzione	1
1.1 Obiettivi	1
1.2 Struttura dell'elaborato	2
2 Architettura IoT	3
2.1 Definizione	3
2.2 Contesto di utilizzo	3
2.3 IoT Vs. sistemi embedded	4
2.4 IoT Vs. macchine ad alte prestazioni	4
2.5 Perché scegliere il mondo IoT	5
2.6 Sfide del mondo IoT	6
3 Lightweight Cryptography e ASCON	8
3.1 Lightweight Cryptography	8
3.2 Famiglia ASCON	8
3.2.1 Standardizzazione	8
3.2.2 Caratteristiche	9
3.2.3 Suddivisione in famiglie	9
3.2.4 Ottimizzazioni proposte	11
4 Testing e analisi	14
4.1 Suite di test	14
4.1.1 Pseudocodice	14
4.1.2 Compilazione	16
4.1.3 Raccolta dei risultati	17
4.2 Dispositivi utilizzati	18
4.2.1 Adafruit ItsyBitsy M0 Express	19
4.2.2 Arduino Due	28
4.2.3 Raspberry Pi 3 Model B	36

4.3	Analisi dei risultati	42
4.3.1	Adafruit ItsyBitsy M0 Express	42
4.3.2	Arduino Due	49
4.3.3	Raspberry Pi 3 Model B	56
5	Conclusioni	62
5.1	Risultati ottenuti	62
5.2	Sviluppi futuri	62
	Ringraziamenti	64

Capitolo 1

Introduzione

1.1 Obiettivi

L'obiettivo del lavoro di tesi è testare e analizzare le prestazioni della famiglia **ASCON**, vincitrice della gara per la standardizzazione della crittografia light-weight indetta dal NIST nel 2018/2019[1].

Il lavoro svolto è stato suddiviso nelle seguenti fasi:

1. **Individuazione di microcontrollori e board a disposizione da testare** – In questo report vengono descritti i risultati di tre dispositivi: Arduino, Adafruit e Raspberry; analizzati nello specifico nel capitolo “Testing e analisi” (vedi [Capitolo 4](#));
2. **Setup della suite di test** – I file sorgente dei file di test sono stati forniti da ASCON nel loro repository Github[2] ma hanno richiesto delle modifiche per poter essere compilati dall'Arduino IDE. La creazione dei folder con i file delle implementazioni e dei file di test è stata automatizzata, dato il sostanzioso numero di implementazioni da testare;
3. **Compilazione dei sorgenti e testing** – La suite di test dei primi due dispositivi IoT testati sono stati compilati con l'Arduino IDE, mentre la suite dell'ultimo dispositivo è stata compilata direttamente nel terminale;
4. **Raccolta dei risultati** – Ogni suite di test ha generato una grande quantità di dati, raccolti in file CSV facilmente interrogabili;
5. **Analisi dei risultati** – Tramite dei notebook Jupyter sono state analizzate le prestazioni di algoritmi e implementazioni, generando dei grafici commentati nella parte finale del capitolo “Testing e analisi”.

Linguaggi di programmazione Il lavoro ha richiesto la conoscenza dei linguaggi C, Assembly ASM, C++ e Arduino. I primi due sono i linguaggi che ASCON ha scelto per implementare la propria famiglia di algoritmi, mentre gli ultimi due sono stati usati per permettere la compilazione delle suite di test sui dispositivi compatibili con l'Arduino IDE.

Una panoramica delle implementazioni di ASCON è presentata nel capitolo “Lightweight Cryptography e ASCON” (vedi [Capitolo 3](#)).

A questi linguaggi si aggiungono Python, Jupyter Notebook e Bash. Il primo e l'ultimo si sono rivelati fondamentali per la creazione di task automatici, come generazione delle suite di test e raccolta delle informazioni degli eseguibili; i notebook invece hanno permesso l'analisi dei risultati ottenuti con il testing.

1.2 Struttura dell'elaborato

L'elaborato inizia con una breve introduzione al mondo dell'IoT, definendo contesti di utilizzo e sfide, e alla crittografia lightweight, con l'analisi completa della famiglia ASCON. Successivamente viene presentato il capitolo riguardante l'attività di testing e analisi fatta sui dispositivi fisici. Infine, è presente un capitolo conclusivo che presenta un riassunto dei risultati ottenuti e possibili sviluppi futuri.

Capitolo 2

Architettura IoT

2.1 Definizione

L'**IoT**, dall'inglese *Internet of Things* (ossia *Internet delle cose*), descrive una rete di dispositivi fisici integrati tra loro tramite sensori, software e rete, consentendogli di raccogliere e condividere dati. I dispositivi IoT sono conosciuti anche come *smart objects*, e possono variare dai semplici dispositivi *smart home*, come i termostati intelligenti o gli *smartwatch*, fino a macchinari industriali e ai sistemi di trasporto. Una delle ultime novità in ambito IoT rappresenta l'idea delle *smart cities*, basate interamente sulle tecnologie IoT[3].

I dispositivi IoT sono degni di interesse perché presentano dimensioni molto ridotte, pertanto hanno scarsa memoria e processori con potenza computazionale limitata. Queste limitazioni lato hardware devono essere compensate con delle ottimizzazioni lato software mediante algoritmi lightweight, che vengono introdotti nel capitolo successivo (vedi [Capitolo 3](#)).

A fronte di tutte queste problematiche, questa architettura è in rapida crescita ed è sempre più presente nella vita quotidiana delle persone.

2.2 Contesto di utilizzo

Lo schema IoT consente ai dispositivi abilitati all'uso di internet di comunicare tra loro, scambiare dati e svolgere varie attività in maniera autonoma – ad esempio:

- Monitorare le condizioni ambientali;
- Gestire i modelli di traffico con automobili intelligenti, come la guida automatica presente nei prodotti Tesla ©;

- Controllare macchine e processi nelle fabbriche;
- Tenere traccia delle spedizioni nell'*e-commerce*.

I settori che possono trarre più vantaggio dall'IoT sono i seguenti[4]:

- **Manifatturiero** — Si monitora la linea di produzione per verificare quando viene compromessa e si permette una rapida gestione degli asset;
- **Automobilistico** — Situazione simile alla precedente, ovvero la verifica della compromissione degli asset, che viene poi segnalata all'utilizzatore durante l'uso del veicolo;
- **Trasporto e logistica** — Rilevazione degli inventari per il monitoraggio delle spedizioni o della temperatura, soprattutto nei confronti di prodotti deperibili come gli alimentari e i farmaceutici;
- **Sanità** — Rilevazione dell'esatta posizione delle risorse di assistenza, oltre al monitoraggio real time delle condizioni dei pazienti.

Le due liste appena presentate sono molto riduttive: il mondo IoT è vario e capace di svolgere quasi tutte le operazioni possibili e i settori che ne giovano sono in realtà molti di più rispetto a quelli presentati.

2.3 IoT Vs. sistemi embedded

Un primo confronto possibile è tra l'IoT e i **sistemi embedded**. Spesso i due termini vengono confusi e utilizzati come se fossero la stessa cosa, ma questo non è vero: i sistemi embedded, se integrati all'interno di oggetti o sistemi informatici più complessi, costituiscono una possibile soluzione IoT, ma *non necessariamente* lo sono.

Quest'ultimo è il caso dei sistemi progettati per ottenere uno scambio “chiuso”, cioè di dati e informazioni tra dispositivi senza interazione con l'ambiente. Non è sufficiente, dunque, per un sistema embedded, essere dotato di microcontrollori con sensori e altri apparecchi fisici per essere considerato IoT[5].

2.4 IoT Vs. macchine ad alte prestazioni

Un secondo confronto è invece quello tra l'IoT e le **macchine ad alte prestazioni**, dette anche HCP (*High-Performance Computing*)[6], riassunto nella [Tabella 1](#) (vedi sotto).

Aspetto	IoT	HCP
Definizione	Rete di dispositivi fisici connessi tramite la rete internet, la quale permette lo scambio dei dati raccolti tramite sensori o simili	Tecnologia che utilizza cluster di processori per elaborare enormi quantità di dati, detti anche <i>big data</i>
Dimensioni	Molto ridotte: l'ordine di grandezza è quello dei sensori, ovvero i principali dispositivi IoT	Molto grandi: sono utilizzati cluster di processori anche da 100000 nodi
Potenza computazionale	Limitata viste le ridotte dimensioni	Enorme vista la grande quantità di processori che possono lavorare in parallelo La velocità è quasi un milione di volte superiore rispetto ai classici sistemi desktop
Flusso di esecuzione	Seriale	Parallelo di massa
Ambito di utilizzo	Raccogliere e inviare dati tramite la rete per poterli analizzare	Machine learning, artificial intelligence, rendering grafico, sanità, genomica, finanza e trading, governo e difesa

Tabella 1: Differenze tra IoT e HCP.

2.5 Perché scegliere il mondo IoT

Il mondo IoT è in grado di migliorare la vita di tutti i giorni, semplificando varie operazioni in diversi ambiti, come quelli sanitario e dell'istruzione.

Alcuni benefici di questa tecnologia sono^[7]:

1. **Raccolta efficiente dei dati** — In settori come sanità e finanza è utile per tenere traccia delle decisioni sugli acquisti e le tendenze di vendita. I dati sono poi usati per migliorare la gestione degli inventari e rilevare i comportamenti del cliente;
2. **Controllo e automazione** — Si permette uno stile di vita controllabile “con un tocco”, ad esempio tramite dispositivi intelligenti come lampadine, macchine per il caffè o, in generale, dispositivi di uso quotidiano;

3. **Accesso in tempo reale alle informazioni** — Si offre accesso immediato alle informazioni, particolarmente utile in settori come la sanità. Soprattutto in ambito medico è utile: ad esempio è possibile monitorare la salute di un paziente in tempo reale, elemento che risulta cruciale nel fornire assistenza tempestiva;
4. **Miglioramento dell'efficienza** — I sistemi IoT operano autonomamente, quindi si elimina la dipendenza dal lavoro umano in parallelo ad un aumento dell'efficienza;
5. **Tracciamento degli asset** — Permette il tracciamento dei prodotti all'interno di un'impresa o di un sistema di gestione della logistica. Il tracciamento manuale degli asset è laborioso e richiede tempo, ma può essere semplificato attraverso l'applicazione di tecnologie IoT come codici a barre e tag RFID;
6. **Aumento della produttività** — In relazione al secondo punto, grazie ai dispositivi smart e intelligenti gli utenti possono semplificare varie attività domestiche usando comandi vocali o applicazioni;
7. **Sicurezza** — Si possono monitorare a distanza i propri asset di valore, come veicoli oppure oggetti di collezione, o anche comodamente tracciare la posizione dei figli dal telefono;
8. **Miglioramento del coinvolgimento del cliente** — Sfruttando i dati dei clienti è possibile la personalizzazione delle esperienze, migliorando la convenienza e consentendo interazioni in tempo reale;
9. **Utilizzo efficiente delle risorse** — Il tracciamento dello stato delle risorse, come attrezzature e macchinari, consente l'identificazione di inefficienze. La manutenzione predittiva nel settore industriale può prevedere guasti delle macchine, riducendo i tempi di inattività e ottimizzando l'allocazione delle risorse per la manutenzione.

2.6 Sfide del mondo IoT

Il mondo IoT deve affrontare una serie di sfide. Alcune di queste sono[8][9]:

1. **Sicurezza e la privacy** — Con l'aumentare della diffusione dei dispositivi IoT la sicurezza e la privacy diventano sempre più importanti. Molti di essi sono vulnerabili ad attacchi su più livelli dello stack di rete, quindi bisogna ricorrere a tecniche di anonimato e crittografia per proteggere le enormi quantità di dati raccolte;

2. **Interoperabilità** — I dispositivi IoT di diversi produttori spesso utilizzano standard e protocolli diversi, rendendo difficile la comunicazione. Una possibile soluzione è l'utilizzo di interfacce standard, ma la creazione di queste ultime, la loro implementazione e la successiva adozione da parte dell'intero panorama informatico ne rende praticamente impossibile l'attuazione;
3. **Sovraccarico dei dati** — I dispositivi IoT generano enormi quantità di dati, che possono sovraccaricare le aziende impreparate a gestirli;
4. **Costi e complessità** — Implementare un sistema IoT può essere costoso e complesso, richiedendo investimenti significativi in hardware, software e infrastruttura. La manutenzione invece richiede competenze ed esperienza specializzate;
5. **Sfide normative e legali** — Con l'aumentare della diffusione dei dispositivi IoT stanno emergendo sfide normative e legali. Le aziende devono conformarsi a varie normative sulla protezione dei dati, sulla privacy e sulla sicurezza informatica, che possono variare da Paese a Paese;
6. **Scalabilità** — All'aumentare del numero di dispositivi bisogna garantire una connettività fluida, una gestione efficace dei dati e prestazioni complessive ottime, ma questo è complicato se non si utilizzano tecnologie come componenti modulari, bilanciatori di carico e sistemi distribuiti.

Capitolo 3

Lightweight Cryptography e ASCON

In questo capitolo si darà una definizione della lightweight cryptography e un'analisi della famiglia ASCON, sulla quale è stata eseguita l'attività di testing presentata nel capitolo successivo.

3.1 Lightweight Cryptography

La **lightweight cryptography**, o crittografia leggera, definisce una classe di algoritmi crittografici progettati per dispositivi con risorse limitate in termini di potenza computazionale, memoria o energia. Ovviamente, tutto il mondo IoT utilizza in modo massiccio questi algoritmi, viste le scarse risorse di board, sensori e microcontrollori – ma non sono gli unici: tra i dispositivi che utilizzano questi algoritmi sono presenti anche smart card e sistemi embedded.

3.2 Famiglia ASCON

ASCON è una famiglia di algoritmi di cifratura autenticati e hash progettati per essere utilizzati in ambito lightweight. È stato selezionato come nuovo standard per la crittografia leggera vincendo il concorso del NIST “Lightweight Cryptography”, gara indetta nel 2018/2019. ASCON è stato anche scelto come migliore algoritmo per la cifratura autenticata leggera nel concorso CAESAR, dal 2014 al 2019[10].

3.2.1 Standardizzazione

La standardizzazione della famiglia ASCON inizia il 7 febbraio 2023[11], giorno in cui ASCON vince la gara del NIST. Quest'ultima inizia il 14 maggio 2018[11],

quando il NIST pubblica un documento contenente[1]:

1. I requisiti che devono avere gli algoritmi iscritti alla gara;
2. Il processo di selezione;
3. I criteri di valutazione.

La prima fase di selezioni è il *Round 1*, che vede il NIST impegnato da marzo/aprile 2019 ad agosto 2019 per scegliere 32 algoritmi tra i 56 iscritti[11][1][12].

La seconda fase di selezioni è il *Round 2*, che inizia subito dopo la fine del Round 1 e termina nel mese di marzo 2021. Questa seconda scrematura fa avanzare solo 10 algoritmi dei 32 scelti al round precedente[11][1][13].

La terza e ultima fase di selezioni è la *Finale*, che, come il Round 2, inizia appena dopo la fine della fase precedente. Il termine è, come scritto prima, il 7 febbraio 2023, data nella quale comincia la fase di standardizzazione di ASCON[11][1].

3.2.2 Caratteristiche

Alcune delle caratteristiche principali di ASCON sono:

- Cifratura autenticata e hash con una singola permutazione leggera;
- Operazioni basate su sponge, con una permutazione SPN personalizzabile;
- Facile da implementare in software e hardware;
- Ottimo per i dispositivi con risorse limitate, dato che utilizza uno stato ridotto ed effettua semplici permutazioni.

ASCON deve la sua nascita al team formato da Christoph Dobraunig, Maria Eichlseder, Florian Mendel e Martin Schl  ffer[14], un gruppo di crittografi che lavorano per la Graz University of Technology, Infineon Technologies, Intel Labs e Radboud University[10].

3.2.3 Suddivisione in famiglie

La suite ASCON propone tre famiglie di algoritmi:

- I. Authenticated Encryption with Associated Data (AEAD);
- II. Funzioni hash;

III. Funzioni auth.

Nel loro repository di Github[2] è presente anche una famiglia “ibrida”, che unisce le funzionalità AEAD a quelle hash.

Authenticated Encryption with Associated Data

Per quanto riguarda la cifratura autenticata, ASCON utilizza un approccio duplex-sponge[15], ovvero un tipo di architettura crittografica che combina due concetti:

- I. **Sponge** — La “spugna” è una struttura che utilizza una funzione hash (o in generale una funzione pseudorandomica) per “assorbire” i dati in ingresso e “spremere” i dati in uscita;
- II. **Duplex** — La spugna descritta al punto precedente è in grado di elaborare dati sia in ingresso che in uscita contemporaneamente, permettendo una maggiore efficienza nell’implementazione degli algoritmi.

La spugna contiene uno stato interno, utilizzato per generare un tag di autenticazione associato al ciphertext: questo permette un ulteriore livello di sicurezza, garantendo l’integrità e l’autenticità dei dati prodotti.

L’approccio appena presentato viene utilizzato in ASCON in quattro fasi[15]:

1. **Inizializzazione** — Lo stato interno della spugna viene inizializzato con la chiave K e il nonce¹ entrambi di 128 bit;
2. **Elaborazione dei dati associati** — Viene aggiornato lo stato interno con blocchi di dati associati, chiamati A_i ;
3. **Elaborazione del plaintext** — I blocchi P_i del plaintext sono “iniettati” nello stato interno ed estratti sotto forma di blocchi C_i di ciphertext;
4. **Finalizzazione** — Viene “iniettata” la chiave K nello stato interno per estrarre il tag T di autenticazione.

Ogni volta che viene iniettato un blocco nello stato interno viene applicata una permutazione più o meno pesante in base al round, alla capacità della spugna e alla variante dell’algoritmo utilizzato.

Gli algoritmi presenti in questa famiglia sono **ascon128**, **ascon128a** e **ascon80pq** – tuttavia solo i primi due sono stati analizzati nel capitolo successivo. Questo perché l’ultimo algoritmo appartiene alla famiglia degli algoritmi *post-quantum*.

¹Esso è l’abbreviazione di “number used once”, ed è un numero randomico utilizzato nella computazione.

Funzioni hash

Come la famiglia AEAD, anche la famiglia delle funzioni hash è di tipo sponge-based e utilizza le stesse permutazioni, utilizzate durante la fase di assorbimento e spremitura. Per generare l'hash di un plaintext M quest'ultimo viene diviso in blocchi M_i di 64 bit ciascuno, “assorbito” dalla spugna e “spremuta” in blocchi H_i di 64 bit.

Gli algoritmi presenti in questa famiglia sono **asconhash** e **asconhasha** per quanto riguarda le funzioni hash con output di grandezza 256 bit, e **asconxof** e **asconxofa** per quanto riguarda le “extendable output function”, ovvero funzioni hash con output di grandezza arbitrario[15].

Funzioni auth

La situazione della famiglia di funzioni auth è praticamente uguale a quella delle funzioni hash.

Gli algoritmi presenti in questa famiglia sono **asconmac** e **asconmaca** per quanto riguarda le funzioni MAC (Message Authentication Code) e **asconprf**, **asconprfa** e **asconprfs** per quanto riguarda le funzioni PRF (Pseudo Random Functions)[16]. L'ultimo algoritmo citato è una versione “short” degli algoritmi PRF utilizzato nelle PBKDF (Password-Based Key Derivation Function) oppure come tecnica per l'autenticazione dei puntatori.

3.2.4 Ottimizzazioni proposte

Nel repository Github di ASCON sono presenti una serie di ottimizzazioni in base all'architettura hardware che si sta utilizzando. Per ogni algoritmo è sempre presente l'implementazione **ref**, ovvero quella di riferimento.

La prima classe di ottimizzazioni è scritta totalmente in linguaggio C e contiene le seguenti implementazioni[2] (vedi [Tabella 2](#)):

Nome	Cosa viene ottimizzato	Architetture supportate
opt32 e opt64	Tempo	32 e 64 bit
opt32 lowsize e opt64 lowsize	Spazio	32 e 64 bit
bi32	Tempo tramite bit-interleaving	32 bit
bi32 lowreg	Uso dei registri tramite bit-interleaving	32 bit
bi32 lowsize	Spazio tramite bit-interleaving	32 bit
esp32	-	ESP32 a 32 bit
opt8	Tempo e spazio	8 bit
bi8	Tempo tramite bit-interleaving	8 bit

Tabella 2: Prima classe di ottimizzazioni.

La seconda classe di ottimizzazioni sostituisce il C con l'assembly ASM puro^[2]:

Nome	Cosa viene ottimizzato	Architetture supportate
asm esp32	Tempo tramite funnel-shift	ESP32 a 32 bit
asm rv32i	Tempo tramite base instruction set	RV32I a 32 bit
asm rv32b	Tempo tramite bitmanip	RV32B a 32 bit
asm fsr rv32b	Tempo tramite funnel-shift e bitmanip	RV32B a 32 bit
asm bi32 rv32b	Tempo tramite bit-interleaving e bitmanip	RV32B a 32 bit

Tabella 3: Seconda classe di ottimizzazioni.

La terza classe di ottimizzazioni utilizza un approccio “ibrido” tra il C e l’inline assembly ASM[2]:

Nome	Cosa viene ottimizzato	Architetture supportate
avx512	Tempo	AVX512 a 320 bit
neon	Tempo	ARM NEON a 64 bit
armv6, armv6m e armv7m	Tempo	ARMv6, ARMv6-M e ARMv7-M a 32 bit
armv6 lowsize, armv6m lowsize e armv7m lowsize	Spazio	ARMv6, ARMv6-M e ARMv7-M a 32 bit
armv7m small	Tempo e spazio	ARMv7-M a 32 bit
bi32 armv6, bi32 armv6m e bi32 armv7m	Tempo tramite bit-interleaving	ARMv6, ARMv6-M e ARMv7-M a 32 bit
bi32 armv7m small	Tempo e spazio tramite bit-interleaving	ARMv7-M a 32 bit
avr	Tempo e spazio	AVR a 8 bit
avr lowsize	Spazio	AVR a 8 bit

Tabella 4: Terza classe di ottimizzazioni.

La quarta e ultima classe di ottimizzazioni utilizza un high-level masked C e l’inline assembly ASM[2]. Queste implementazioni sono utilizzate come punto di partenza per generare specifiche implementazioni che dipendono fortemente dal dispositivo utilizzato. Il linguaggi utilizzati sono sempre il C e l’assembly ASM.

Nome	Cosa viene ottimizzato	Architetture supportate
protected bi32 armv6	Tempo tramite masked bit interleaving	ARMv6 a 32 bit
protected bi32 armv6 leveled	Tempo tramite masked e leveled bit interleaving	ARMv6 a 32 bit

Tabella 5: Quarta classe di ottimizzazioni.

Capitolo 4

Testing e analisi

Come scritto in precedenza, ASCON propone tre famiglie di algoritmi crittografici: AEAD, funzioni hash e funzioni auth. Sono state testate tutte le famiglie proposte utilizzando diverse grandezze di plaintext e tre diversi dispositivi IoT fisici, ossia Arduino Due, Adafruit ItsyBitsy M0 Express e Raspberry Pi 3 Model B. Le prime due board sono prive di sistema operativo, mentre l'ultima è stata utilizzata con la distribuzione "Raspberry Pi OS".

In questo capitolo verranno usati i termini "algoritmo" per indicare un algoritmo di una data famiglia e "implementazione" per indicare un'implementazione di un dato algoritmo di una data famiglia. Viene fatto questo per evitare di ripetere ogni volta "una data implementazione di un dato algoritmo di una data famiglia".

4.1 Suite di test

Per poter partecipare alla gara del NIST, ASCON ha inserito nel proprio repository Github una serie di test che possono essere compilati ed eseguiti su ogni architettura supportata. I test forniti eseguivano mediamente mille esecuzioni di una implementazione scelta, usando di volta in volta diverse grandezze di plaintext e di dati associati. Il test utilizzato per i risultati presenti in questo report esegue al massimo nove esecuzioni per l'implementazione in esame, testando plaintext e dati associati di grandezze minime, massime – secondo i test definiti da ASCON – e intermedie significative.

4.1.1 Pseudocodice

Lo [pseudocodice](#) (vedi sotto) mostra la funzione di test utilizzata, creata modificando leggermente quella fornita da ASCON per poter rilevare i tempi di esecuzione. Per avere dei dati consistenti, la funzione di test viene chiamata mille volte

Algoritmo Testing con varie lunghezze di plaintext e dati associati.

Input: Lunghezza m_{len} del plaintext.

Input: Lunghezza ad_{len} dei dati associati (solo AEAD).

```

1: ▷ Generazione di chiave, nonce e dati associati. <
2:  $key \leftarrow \text{GENERATE\_KEY}(k_{len})$ 
3:  $nonce \leftarrow \text{GENERATE\_NONCE}(n_{len})$ 
4:  $ad \leftarrow \text{GENERATE\_AD}(ad_{len})$ 
5:
6: ▷ Generazione del plaintext da testare. <
7:  $pt \leftarrow \text{GENERATE\_PT}(m_{len})$ 
8:
9: ▷ Inizio timer. <
10:  $time \leftarrow \text{GET\_TIME}$ 
11:
12: ▷ Cifratura e misura del tempo di esecuzione. <
13:  $ct, error \leftarrow \text{ENCRYPT}(pt, key, nonce, ad)$ 
14:  $time \leftarrow \text{GET\_TIME} - time$ 
15:
16: ▷ Controllo degli errori. <
17: if  $error > 0$  then
18:    $\mid \text{EXIT}(error)$ 
19:
20: ▷ Stampa dei risultati. <
21:  $\text{PRINT}(time)$ 
22:
23: ▷ Se la famiglia testata è AEAD oppure autenticazione viene eseguita la <
   funzione di check
24: if  $family \in \{AEAD, autenticazione\}$  then
25:   ▷ Inizio timer. <
26:    $time \leftarrow \text{GET\_TIME}$ 
27:
28:   ▷ Decifratura e misura del tempo di esecuzione. <
29:    $pt, error \leftarrow \text{DECRYPT}(ct, key, nonce, ad)$ 
30:    $time \leftarrow \text{GET\_TIME} - time$ 
31:
32:   ▷ Controllo degli errori. <
33:   if  $error > 0$  then
34:      $\mid \text{EXIT}(error)$ 
35:
36:   ▷ Stampa dei risultati. <
37:    $\text{PRINT}(time)$ 

```

per ogni grandezza di plaintext e dati associati in esame.

Per inserire i risultati come righe di un file CSV facilmente interrogabili, il programma che richiama la funzione di test esegue per mille volte un loop, nel quale vengono usate in sequenza le varie grandezze di plaintext e dati associati, così da avere, per ogni riga del file CSV, i tempi di esecuzione di un campionamento sulle lunghezze da testare.

Algoritmo Come viene chiamata la funzione di test.

```

1: ▷ Funzione di test.
2: for _ in range(1000) do
3:     TEST( $m_{len_1}$ ,  $ad_{len_1}$ )
4:     ...
5:     TEST( $m_{len_{n-1}}$ ,  $ad_{len_{n-1}}$ )
6:     SEND_RESULTS()
```

L'header di ogni file CSV è composto da celle nel formato “ $NB-M$ ”, con:

- N : grandezza in byte del plaintext testato;
- B : indica appunto che la grandezza N è in byte;
- M : modalità, che per AEAD può essere E (*encryption*) oppure D (*decryption*), per autenticazione può essere A (*authentication*) oppure V (*verify*) mentre per hash questo campo non è presente.

0B-E	0B-D	1B-E	1B-D	8B-E	8B-D	16B-E	16B-D
------	------	------	------	------	------	-------	-------

Tabella 6: Header AEAD con plaintext da 0, 1 8 e 16 byte.

4.1.2 Compilazione

Per le board prive di sistema operativo è stato utilizzato il software Arduino IDE: il file di test veniva dapprima inserito in un progetto Arduino con i file che definivano l'implementazione scelta, successivamente compilato tramite il compilatore presente nella suite Arduino e infine trasferito tramite porta seriale alla board sotto testing. Per quanto riguarda la board con il sistema operativo, il file di test e i file dell'implementazione scelta venivano messi in una cartella, trasferiti sulla board tramite l'utility *scp*, compilati con *gcc* e infine eseguiti.

4.1.3 Raccolta dei risultati

Per le due board prive di sistema operativo, i risultati delle mille esecuzioni dei test di varie grandezze di plaintext e dati associati vengono inviati sulla porta seriale e intercettati da uno script Python che li inserisce in file CSV.

```
import argparse, os, serial
from serial import SerialException

def main(filename: str, port: str) -> None:
    while True:
        try:
            s = serial.Serial(port, 9600)
            break
        except SerialException:
            port = input("Porta errata da ARGV, inserisci la porta: ")

    files = [file.split(".")[0] for file in os.listdir()]
    while filename not in files:
        filename = input("Nome errato da ARGV, inserisci il nome: ")

    with open(f"{filename}.csv", "a") as f:
        for i in range(1000):
            f.write(f"{s.readline().strip().decode()}\n")

if __name__ == "__main__":
    parser = argparse.ArgumentParser()
    parser.add_argument("filename")
    parser.add_argument("port")

    args = parser.parse_args()
    main(args.filename, args.port)
```

Lo script presentato per mille iterazioni legge dalla porta seriale un'esecuzione del loop di test e scrive il record nel file CSV corrispondente.

Nella board con il sistema operativo la logica di raccolta dati è stata invece spostata dentro il programma di test, che quando rileva un tempo di esecuzione lo va a scrivere direttamente nel file CSV.

4.2 Dispositivi utilizzati

L'attività di testing è stata eseguita su tre dispositivi IoT fisici: **Arduino Due**, **Adafruit ItsyBitsy M0 Express** e **Raspberry Pi 3 Model B**.

Nei capitoli successivi saranno presenti due tipi di tabelle:

I. **Tempi di esecuzione** — Contengono, appunto, i tempi di esecuzione, raccolti per implementazione e algoritmo; queste tabelle sono organizzate nel seguente modo:

- Header, che contiene celle nel formato “ N - V ”, dove:
 - N : grandezza in byte del plaintext testato;
 - V : tipo di valore indicato nelle celle sottostanti, e può essere:
 - (1) m: valore minimo;
 - (2) a: valore medio;
 - (3) M: valore massimo.

0-m	0-a	0-M	1-m	1-a	1-M	8-m	8-a	8-M
-----	-----	-----	-----	-----	-----	-----	-----	-----

Tabella 7: Header tabella con plaintext da 0, 1 e 8 byte.

- Righe, che contengono:
 - Il nome dell'algoritmo da testare e una serie di colonne vuote, oppure
 - Il nome di una implementazione dell'algoritmo letto precedentemente e una serie di colonne che rappresentano i tempi di esecuzione raccolti, misurati in microsecondi.

ascon128av12		
arvm6m
ref

Tabella 8: Righe tabella con algoritmo **ascon128av12** e implementazioni **armv6m** e **ref**.

II. **Spazio utilizzato** — Contengono alcune informazioni sulle proprietà dei file eseguibili compilati. Per le due board prive di sistema operativo queste informazioni sono state ricavate dal terminale dell'Arduino IDE. Esse sono:

- Sketch: dimensione del file compilato in byte. È presente anche una percentuale, che indica quanto lo sketch occupa nella memoria della board;
- Eseguibile: dimensione del file compilato, al quale vengono aggiunti alcuni header per poter essere eseguito sulla board, sempre misurato in byte;
- Pagine: numero di pagine;
- Loading time: secondi impiegati per trasferire il file eseguibile dal dispositivo host alla board.

Per quanto riguarda invece la board con il sistema operativo, l'unica informazione disponibile è la grandezza in byte del file eseguibile, ricavata tramite l'utilità *stat*. La struttura delle righe è la stessa della tabella precedente.

Per quanto riguarda le famiglie AEAD e auth, saranno presenti tre tabelle: (1) tempi di esecuzione durante la fase di cifratura/autenticazione ; (2) tempi di esecuzione durante la fase di decifratura/verifica; (3) spazio utilizzato. Invece, per la famiglia hash, sarà presente una sola tabella con i tempi di esecuzione delle funzioni prese in esame e la tabella dello spazio utilizzato.

4.2.1 Adafruit ItsyBitsy M0 Express

La prima board testata è un prodotto Adafruit con un processore 32 bit ATSAM21G18 Cortex M0+ a 48 MHz, 256 KB di memoria flash e 32 KB di memoria RAM[17]. L'architettura della board è ARMv6-M, presente nelle ottimizzazioni fornite da ASCON[18].

Crypto AEAD

Per la famiglia crypto AEAD sono stati testati tutti gli algoritmi proposti nelle seguenti implementazioni: ARMv6-M, ARMv6-M lowsize, bi32, bi32 ARMv6-M, bi32 lowreg, bi32 lowsize, opt32, opt32 lowsize e ref.

Tabella 9: Spazio utilizzato famiglia AEAD.

	Sketch	Eseguibile	Pagine	Loading time
ascon128abi32				
bi32	27760 [10%]	27852	436	0.239
bi32 armv6m	23116 [8%]	23208	363	0.200
bi32 lowreg	21140 [8%]	21232	332	0.189
bi32 lowsize	16928 [6%]	17020	266	0.136
ref	48352 [18%]	48444	757	0.448
ascon128av12				
armv6m	23108 [8%]	23200	363	0.210
armv6m lowsize	16888 [6%]	16980	266	0.179
bi32	32132 [12%]	32224	504	0.300
bi32 armv6m	27748 [10%]	27840	435	0.271
bi32 lowreg	24964 [9%]	25056	391	0.240
bi32 lowsize	16600 [6%]	16692	261	0.164
opt32	58872 [22%]	58964	922	0.455
opt32 lowsize	16972 [6%]	17064	267	0.170
ref	56412 [21%]	56504	883	0.526
ascon128bi32v12				
bi32	25824 [9%]	25916	405	0.201
bi32 armv6m	21916 [8%]	22008	344	0.198
bi32 lowreg	20232 [7%]	20324	318	0.155
bi32 lowsize	16864 [6%]	16956	265	0.185
ref	39628 [15%]	39720	621	0.370
ascon128v12				
armv6m	21864 [8%]	21956	344	0.227
armv6m lowsize	16824 [6%]	16916	265	0.183
bi32	28736 [10%]	28828	451	0.369
bi32 armv6m	25076 [9%]	25168	394	0.249
bi32 lowreg	22880 [8%]	22972	359	0.192
bi32 lowsize	16560 [6%]	16652	261	0.159
opt32	52768 [20%]	52860	826	0.425
opt32 lowsize	16908 [6%]	17000	266	0.170
ref	53044 [20%]	53136	831	0.484

Tabella 10: Prestazioni famiglia crypto AEAD nella fase di cifratura.

	0-m	0-a	0-M	1-m	1-a	1-M	16-m	16-a	16-M	32-m	32-a	32-M	48-m	48-a	48-M	64-m	64-a	64-M
ascon128av12																		
armv6m	121	122.46	130	163	164.85	172	236	239.09	245	315	317.96	325	393	396.3	404	471	475.99	482
armv6m lowsize	129	130.73	138	171	172.9	180	255	258.27	266	341	344.3	352	426	430.77	437	511	516.54	522
bi32	186	187.82	196	249	251.8	260	364	367.39	374	487	492.29	498	611	617.51	622	735	742.61	746
bi32 armv6m	129	130.34	138	176	177.42	184	252	254.79	261	339	342.34	348	426	430.32	437	512	517.65	523
bi32 lowreg	207	209.28	218	271	274.46	282	382	385.86	393	504	509.15	515	626	632.08	637	748	755.4	759
bi32 lowsize	197	199.71	208	257	259.81	267	386	390.48	397	516	520.78	527	646	652.12	657	776	783.53	786
opt32	155	156.86	163	207	209.17	217	308	311.21	318	413	417.96	424	519	524.11	530	625	630.99	636
opt32 lowsize	202	204.38	211	267	269.48	277	399	402.76	409	531	536.5	542	664	670.81	675	799	804.17	808
ref	173	174.24	183	224	226.88	235	347	351.0	358	472	477.07	483	596	602.63	607	721	727.8	732
ascon128abi32v12																		
bi32	176	177.9	184	235	237.24	243	344	347.1	352	457	461.65	468	571	576.1	581	686	690.7	695
bi32 armv6m	118	119.44	127	159	160.77	168	231	233.6	240	308	310.16	318	384	388.43	395	460	464.19	471
bi32 lowreg	194	196.44	203	253	255.83	262	359	362.72	369	470	474.73	481	581	587.03	592	694	698.73	703
bi32 lowsize	182	183.78	192	240	242.75	251	358	362.15	369	477	482.16	488	596	602.59	607	715	722.22	726
ref	169	170.85	180	217	220.13	228	334	337.24	345	452	456.87	462	570	575.46	580	687	694.38	698
ascon128v12																		
armv6m	119	119.91	128	152	152.96	160	206	207.83	216	265	267.73	275	324	327.1	334	382	386.09	393
armv6m lowsize	129	130.48	138	162	163.48	170	223	224.77	231	284	286.56	293	345	348.7	356	407	410.7	417
bi32	185	187.27	194	238	240.12	248	321	324.33	332	413	417.65	424	506	510.69	517	598	604.42	610
bi32 armv6m	127	128.23	136	166	167.29	174	218	220.3	227	281	284.24	290	344	348.01	353	407	411.71	416
bi32 lowreg	206	208.68	215	258	261.17	267	336	339.26	345	424	429.12	435	513	518.39	525	602	608.64	613
bi32 lowsize	197	199.01	208	244	245.92	254	334	337.56	345	425	429.63	436	517	521.86	527	608	613.94	619
opt32	158	160.28	167	200	201.95	209	273	275.89	282	351	354.1	361	429	433.07	439	506	511.35	517
opt32 lowsize	202	203.93	211	252	254.35	263	347	350.82	358	443	447.6	454	539	544.58	550	635	641.72	646
ref	173	175.03	182	213	214.88	223	299	301.88	309	386	389.68	397	473	478.02	484	561	566.73	572
ascon128bi32v12																		
bi32	175	177.36	184	222	224.83	231	305	308.18	314	392	395.9	402	479	483.62	490	566	571.93	577
bi32 armv6m	116	117.35	125	149	150.77	158	203	204.77	212	261	263.84	270	319	322.32	329	376	380.52	387
bi32 lowreg	194	196.2	205	240	242.17	250	317	320.03	328	399	402.93	410	481	485.95	492	564	569.21	574
bi32 lowsize	181	183.66	192	226	228.98	237	311	314.72	322	397	401.58	408	483	487.69	494	569	574.31	580
ref	176	178.07	185	222	224.08	231	303	306.25	312	385	389.05	394	467	472.0	478	552	555.67	561

Tabella 11: Prestazioni famiglia crypto AEAD nella fase di decifratura.

	0-m	0-a	0-M	1-m	1-a	1-M	16-m	16-a	16-M	32-m	32-a	32-M	48-m	48-a	48-M	64-m	64-a	64-M
ascon128av12																		
armv6m	244	246.76	253	331	334.71	342	480	484.84	491	641	646.86	652	804	809.86	813	965	971.95	974
armv6m lowsize	264	266.93	275	348	351.13	358	522	526.66	533	698	704.47	709	876	882.0	885	1059	1059.62	1062
bi32	373	376.49	384	503	507.41	513	732	739.08	743	985	991.8	994	1242	1244.72	1253	1493	1497.68	1504
bi32 armv6m	261	263.25	270	357	360.33	365	512	516.57	522	692	696.95	701	871	877.28	880	1057	1057.45	1060
bi32 lowreg	415	418.47	426	546	551.19	557	772	778.91	783	1031	1031.59	1035	1281	1284.24	1292	1531	1536.18	1542
bi32 lowsize	399	402.28	409	519	523.84	530	782	789.65	793	1056	1056.76	1060	1321	1324.22	1332	1586	1591.94	1597
opt32	320	323.21	331	427	430.84	438	631	636.51	642	849	854.99	858	1072	1073.18	1081	1289	1291.63	1299
opt32 lowsize	409	412.92	420	540	544.47	550	811	816.14	820	1089	1089.3	1097	1359	1362.71	1370	1630	1636.17	1641
ref	368	371.86	379	473	477.56	484	724	730.67	735	981	988.0	990	1242	1245.12	1254	1497	1501.84	1508
ascon128abi32v12																		
bi32	353	356.6	362	474	478.85	485	695	699.53	704	926	933.04	935	1165	1166.14	1174	1396	1399.85	1405
bi32 armv6m	237	240.22	246	323	326.41	332	469	472.22	480	627	632.54	637	786	791.14	795	944	950.23	953
bi32 lowreg	390	394.12	401	511	515.64	522	728	732.76	737	955	962.06	964	1190	1191.97	1199	1418	1421.48	1428
bi32 lowsize	369	372.0	379	486	490.18	496	727	733.87	738	971	979.84	982	1223	1225.64	1234	1466	1471.25	1477
ref	386	389.56	397	484	488.69	495	720	727.09	731	961	970.12	972	1210	1212.37	1221	1450	1454.99	1461
ascon128v12																		
armv6m	241	242.96	251	309	311.37	320	418	421.92	428	538	542.79	549	658	664.36	669	778	785.87	789
armv6m lowsize	263	266.14	272	329	332.54	338	453	456.58	463	578	583.31	589	705	709.77	714	830	836.0	839
bi32	373	375.86	383	478	482.34	489	645	650.52	656	835	840.92	844	1029	1030.15	1033	1217	1219.24	1226
bi32 armv6m	256	258.9	265	335	338.53	344	441	445.68	450	570	575.69	581	701	705.66	710	830	835.4	839
bi32 lowreg	414	417.52	425	520	524.78	531	674	678.71	683	852	858.27	861	1037	1037.89	1041	1215	1217.31	1224
bi32 lowsize	398	401.72	409	492	496.51	503	676	681.58	686	861	868.42	872	1055	1055.6	1058	1240	1242.57	1251
opt32	317	319.81	325	405	408.72	416	550	554.86	561	708	712.77	717	865	870.73	873	1028	1028.66	1032
opt32 lowsize	408	412.5	419	509	514.05	520	702	709.07	713	899	905.36	908	1101	1101.66	1109	1295	1298.48	1306
ref	361	364.81	372	442	446.24	453	616	622.23	627	794	801.06	805	973	980.17	982	1158	1159.81	1167
ascon128bi32v12																		
bi32	353	356.3	363	450	454.32	461	615	621.38	626	794	799.64	803	971	977.84	980	1155	1156.61	1164
bi32 armv6m	235	236.72	244	303	306.28	312	410	413.97	421	528	533.4	539	647	652.95	658	768	773.32	777
bi32 lowreg	390	393.85	401	484	488.62	495	638	644.39	649	805	812.86	816	974	981.16	983	1148	1149.88	1159
bi32 lowsize	368	370.92	378	458	462.45	469	631	636.55	641	805	812.45	815	981	987.71	990	1162	1163.54	1173
ref	372	375.09	381	464	468.59	475	628	631.9	637	793	798.76	802	959	965.53	968	1131	1132.69	1140

Crypto hash

Per la famiglia crypto hash sono stati testati tutti gli algoritmi proposti nelle seguenti implementazioni: ARMv6-M, ARMv6-M lowsize, bi32, bi32 ARMv6-M, bi32 lowreg, bi32 lowsize, opt32, opt32 lowsize e ref.

Tabella 12: Spazio utilizzato famiglia hash.

	Sketch	Eseguibile	Pagine	Loading time
asconhashabi32v12				
bi32	23516 [8%]	23608	369	0.186
bi32 armv6m	16356 [6%]	16448	257	0.145
bi32 lowreg	16412 [6%]	16504	258	0.141
bi32 lowsize	15572 [5%]	15664	245	0.141
ref	27256 [10%]	27348	428	0.235
asconhashav12				
armv6m	16332 [6%]	16424	257	0.153
armv6m lowsize	15540 [5%]	15632	245	0.147
bi32	24016 [9%]	24108	377	0.195
bi32 armv6m	16832 [6%]	16924	265	0.143
bi32 lowreg	16896 [6%]	16988	266	0.152
bi32 lowsize	15644 [5%]	15736	246	0.124
opt32	27028 [10%]	27120	424	0.218
opt32 lowsize	15628 [5%]	15720	246	0.126
ref	31836 [12%]	31928	499	0.256
asconhashbi32v12				
bi32	20188 [7%]	20280	317	0.181
bi32 armv6m	16356 [6%]	16448	257	0.148
bi32 lowreg	16412 [6%]	16504	258	0.148
bi32 lowsize	15572 [5%]	15664	245	0.129
ref	27436 [10%]	27528	431	0.239
asconhashv12				
armv6m	16332 [6%]	16424	257	0.172
armv6m lowsize	15540 [5%]	15632	245	0.154
bi32	20688 [7%]	20780	325	0.182
bi32 armv6m	16832 [6%]	16924	265	0.163
bi32 lowreg	16896 [6%]	16988	266	0.144
bi32 lowsize	15644 [5%]	15736	246	0.137
opt32	30500 [11%]	30592	478	0.261
opt32 lowsize	15628 [5%]	15720	246	0.128
ref	35384 [13%]	35476	555	0.298
asconxofav12				
armv6m	16332 [6%]	16424	257	0.130
armv6m lowsize	15540 [5%]	15632	245	0.147
bi32	24016 [9%]	24108	377	0.212
bi32 armv6m	16832 [6%]	16924	265	0.147
bi32 lowreg	16896 [6%]	16988	266	0.137
bi32 lowsize	15644 [5%]	15736	246	0.131
opt32	27028 [10%]	27120	424	0.230
opt32 lowsize	15628 [5%]	15720	246	0.138
ref	31828 [12%]	31920	499	0.263
asconxofv12				
armv6m	16332 [6%]	16424	257	0.161
armv6m lowsize	15540 [5%]	15632	245	0.179
bi32	20688 [7%]	20780	325	0.179
bi32 armv6m	16832 [6%]	16924	265	0.166
bi32 lowreg	16896 [6%]	16988	266	0.144
bi32 lowsize	15644 [5%]	15736	246	0.141
opt32	30500 [11%]	30592	478	0.246
opt32 lowsize	15628 [5%]	15720	246	0.137
ref	35340 [13%]	35432	554	0.286

Tabella 13: Prestazioni famiglia hash.

	0-m	0-a	8-m	8-a	10-m	10-a	16-m	32-m	32-a	32-M	64-m	64-a	128-m	128-a	128-M	256-m	256-a	256-M	512-m	512-a	512-M	1024-m	1024-a	1024-M			
asconhaahv12																											
arm6m	184	186.0	195	222	223.19	232	259	261.34	270	333	338.34	344	481	484.63	492	778	787.73	789	1381	1383.88	1392	2577	2581.2	2588	4972	4979.65	4981
arm6m lowsize	187	189.2	199	225	227.58	236	263	265.76	274	339	344.69	350	492	496.62	503	796	805.51	807	1414	1418.29	1425	2641	2648.19	2652	5103	5106.19	5115
b132	270	272.77	280	326	329.63	337	383	387.04	394	436	439.67	507	722	729.63	733	1184	1186.26	1194	2099	2099.95	2107	3920	3924.98	3929	7576	7581.08	7587
b132 arm6m	191	192.45	200	229	231.61	238	267	269.46	277	343	347.73	351	496	501.29	507	803	808.88	812	1421	1425.93	1432	2652	2658.86	2663	5122	5124.35	5131
b132 lowreg	271	272.83	280	327	330.89	336	382	386.51	391	494	498.72	504	728	732.61	727	1171	1172.04	1180	2071	2072.02	2080	3863	3870.66	3872	7460	7465.74	7471
b132 lowsize	273	275.72	282	329	332.37	338	386	389.6	396	499	503.08	509	726	731.96	735	1185	1187.48	1194	2098	2099.39	2107	3916	3923.37	3925	7566	7571.58	7576
opt32	244	247.06	253	294	297.45	303	344	347.69	353	444	448.93	455	646	650.65	655	1053	1053.79	1062	1855	1861.51	1864	3170	3175.21	3181	6698	6703.58	6708
opt32 lowsize	294	297.51	303	356	359.31	365	418	421.69	426	543	546.03	552	790	795.12	799	1290	1293.13	1299	2286	2289.77	2295	4278	4281.69	4287	8263	8266.42	8272
ref	314	316.65	324	367	369.94	378	420	424.25	431	526	531.17	537	738	745.27	749	1171	1173.32	1180	2029	2029.31	2037	3734	3741.97	3745	7164	7166.94	7174
asconhaahb132v12																											
b132	262	264.75	270	316	319.03	326	371	374.58	382	480	485.09	491	700	704.6	709	1143	1145.02	1152	2025	2025.24	2028	3780	3786.08	3789	7304	7307.28	7313
arm6m	181	183.98	190	218	220.16	227	254	257.07	264	327	330.31	338	473	476.82	484	766	772.03	775	1357	1359.63	1368	2582	2587.09	2543	4884	4890.51	4893
b132 lowreg	262	263.2	273	316	319.54	327	370	375.69	381	478	484.55	488	694	701.01	704	1134	1135.62	1145	2005	2006.52	2010	3741	3749.78	3752	7226	7230.18	7239
b132 lowsize	264	267.33	273	319	322.65	328	374	378.48	385	484	489.19	485	706	710.90	715	1153	1154.28	1162	2041	2041.67	2050	3840	3846.21	3849	7361	7364.6	7371
ref	309	312.74	318	360	363.91	369	411	415.04	421	512	517.02	522	716	721.94	725	1127	1128.71	1136	1938	1945.71	1947	3575	3579.33	3584	6838	6844.27	6847
asconhaahv12																											
arm6m	234	236.44	243	288	290.98	297	341	344.98	350	449	452.77	459	665	669.28	674	1101	1102.43	1110	1961	1968.19	1970	3694	3699.11	3703	7159	7160.95	7168
arm6m lowsize	237	237.88	247	292	297.95	302	347	352.45	358	456	458.05	467	675	679.25	685	1122	1122.62	1132	2006	2007.2	2010	3775	3776.57	3778	7304	7307.08	7317
b132	347	350.63	357	429	433.79	440	511	516.49	522	676	682.61	687	1014	1014.25	1022	1672	1678.11	1682	3005	3006.11	3008	5655	5662.29	5666	10966	10973.56	10976
b132 arm6m	239	241.71	250	293	296.65	304	348	351.27	358	456	460.16	467	673	679.08	683	1115	1116.55	1124	1984	1991.21	1993	3733	3740.81	3744	7237	7239.3	7247
b132 lowreg	349	353.65	358	430	434.75	441	512	516.74	522	677	681.32	686	1011	1011.25	1019	1665	1670.16	1674	2980	2987.5	2989	5618	5621.53	5627	10885	10892.44	10894
b132 lowsize	350	353.86	361	433	437.6	444	515	520.91	526	680	686.99	691	1019	1019.21	1027	1678	1683.88	1689	3014	3014.95	3018	5660	5676.44	5680	10997	10997.89	10999
opt32	317	320.9	328	392	395.5	403	466	470.97	477	616	623.62	627	916	923.32	925	1519	1525.0	1530	2722	2728.47	2733	5135	5136.99	5146	9951	9953.84	9955
opt32 lowsize	382	385.97	393	473	478.12	484	564	568.7	575	746	752.68	756	1118	1120.18	1129	1846	1854.03	1857	3319	3322.7	3330	6256	6259.62	6267	12131	12132.9	12141
ref	387	390.75	397	464	468.28	475	542	547.67	553	698	705.23	709	1018	1019.23	1028	1641	1648.29	1652	2896	2905.11	2907	5414	5418.9	5426	10440	10447.88	10454
asconhaahb132v12																											
b132	339	342.12	350	419	423.06	430	499	503.67	510	659	666.31	670	981	989.39	991	1630	1637.72	1641	2922	2930.97	2933	5514	5520.04	5526	10688	10698.3	10703
arm6m	230	232.22	239	283	285.35	291	335	338.57	344	440	444.24	449	651	656.46	660	1078	1079.02	1086	1919	1926.21	1928	3615	3619.42	3624	7006	7006.44	7009
b132 lowreg	340	343.94	351	420	424.74	431	500	504.78	511	659	665.89	670	981	988.43	990	1629	1633.72	1638	2915	2922.34	2924	5465	5501.31	5506	10652	10657.3	10662
b132 lowsize	342	345.82	353	423	427.76	434	504	509.23	515	666	672.32	677	998	998.72	1000	1645	1651.94	1656	2950	2956.89	2959	5563	5567.82	5574	10783	10790.8	10794
ref	390	393.54	400	465	469.31	475	539	544.74	550	689	695.25	699	989	996.62	998	1593	1598.85	1604	2798	2804.72	2807	5212	5214.09	5221	10033	10034.69	10038
asconcofav12																											
arm6m	184	187.17	193	222	223.34	232	259	260.87	269	333	338.35	344	481	486.2	492	778	786.52	789	1381	1385.44	1392	2577	2582.89	2588	4972	4979.63	4981
arm6m lowsize	187	189.09	198	225	227.75	236	263	265.81	274	339	342.77	350	492	496.59	502	796	803.6	807	1414	1418.47	1425	2641	2648.26	2652	5103	5106.05	5115
b132	270	272.83	280	326	329.62	337	383	387.02	394	496	500.75	507	722	729.75	733	1184	1186.19	1195	2099	2099.91	2108	3920	3927.01	3929	7576	7582.01	7587
b132 arm6m	191	192.73	200	229	231.58	238	267	269.47	276	343	347.45	352	496	501.34	507	803	808.97	812	1421	1425.92	1432	2654	2658.77	2663	5122	5123.97	5131
b132 lowreg	271	272.92	281	327	330.89	338	382	385.45	393	494	498.73	505	724	733.2	727	1171	1173.2	1182	2070	2072.18	2081	3860	3870.2	3872	7458	7465.76	7472
b132 lowsize	273	275.75	283	329	332.24	340	386	389.57	396	499	503.07	510	724	731.69	735	1185	1187.44	1196	2098	2099.55	2107	3916	3923.33	3925	7566	7571.57	7576
opt32	244	246.85	253	294	297.53	303	344	347.56	353	444	449.06	455	646	650.67	655	1053	1053.91	1062	1855	1861.54	1864	3170	3175.21	3181	6698	6703.08	6708
opt32 lowsize	294	297.56	305	356	359.26	367	418	421.65	428	541	545.9	552	788	795.14	798	1290	1293.42	1301	2286	2289.78	2297	4278	4281.64	4289	8263	8266.27	8274
ref	314	316.52	322	367	369.77	377	420	424.59	431	526	531.22	536	749	745.24	754	1171	1173.36	1180	2028	2029.22	2037	3736	3741.98	3746	7164	7166.86	7173
asconcofv12																											
arm6m	234	236.46	245	288	290.91	299	341	344.79	352	449	452.86	459	663	669.39	674	1101	1102.28	1111	1959	1968.05	1969	3691	3699.11	3703	7158	7161.07	7170
arm6m lowsize	237	239.06	246	292	298.84	302	347	350.88	355	456	457.78	466	675	678.08	685	1122	1123.43	1131	2007	2007.08	2008	3769	3775.98	3778	7306	7307.07	7315
b132	347	350.31	356	429	433.82	439	511	516.38	522	677	682.42	686	1014	1014.21	1021	1673	1678.03	1682	3005	3006.12	3010	5657	5662.1	5666	10966	10973.54	10975
b132 arm6m	239	241.59	248	293	296.7	302	348	351.05	357	456	460.24	465	674	678.91	683	1115	1116.83	1124	1984	1991.15	1993	3735	3740.92	3744	7237	7239.32	7246
b132 lowreg	349	353.72	360	430	434.67	441	515	516.68	523	675	681.23	686	101														

Crypto auth

Per la famiglia crypto auth sono stati testati tutti gli algoritmi proposti nelle seguenti implementazioni: ARMv6-M, bi32, bi32 ARMv6-M, bi32 lowreg, opt32 e ref.

Tabella 14: Spazio utilizzato famiglia auth.

	Sketch	Eseguibile	Pagine	Loading time
asconmacav12				
armv6m	17268 [6%]	17360	272	0.136
bi32	24836 [9%]	24928	390	0.190
bi32 armv6m	18036 [6%]	18128	284	0.152
bi32 lowreg	18000 [6%]	18092	283	0.191
opt32	32232 [12%]	32324	506	0.250
ref	32496 [12%]	32588	510	0.256
asconmacv12				
armv6m	17268 [6%]	17360	272	0.146
bi32	21512 [8%]	21604	338	0.202
bi32 armv6m	18036 [6%]	18128	284	0.142
bi32 lowreg	18000 [6%]	18092	283	0.155
opt32	35640 [13%]	35732	559	0.284
ref	36008 [13%]	36100	565	0.284
asconprfav12				
armv6m	17268 [6%]	17360	272	0.140
bi32	24836 [9%]	24928	390	0.226
bi32 armv6m	18036 [6%]	18128	284	0.170
bi32 lowreg	18000 [6%]	18092	283	0.164
opt32	32256 [12%]	32348	506	0.268
ref	32456 [12%]	32548	509	0.255
asconprfsv12				
armv6m	15972 [6%]	16064	251	0.136
bi32	21884 [8%]	21976	344	0.197
bi32 armv6m	17108 [6%]	17200	269	0.170
bi32 lowreg	17128 [6%]	17220	135	0.270
opt32	20716 [7%]	20808	326	0.176
ref	20284 [7%]	20376	319	0.199
asconprfv12				
armv6m	17268 [6%]	17360	272	0.156
bi32	21512 [8%]	21604	338	0.206
bi32 armv6m	18036 [6%]	18128	284	0.168
bi32 lowreg	18000 [6%]	18092	283	0.157
opt32	35636 [13%]	35728	559	0.318
ref	35968 [13%]	36060	564	0.285

4.2.2 Arduino Due

La seconda board testata è un prodotto Arduino, con un processore 32 bit Atmel SAM3X8E ARM Cortex-M3 a 84 MHz e 96 KB di SRAM[19]. L'architettura della board è ARMv7-M, presente nelle ottimizzazioni fornite da ASCON[18].

Crypto AEAD

Per la famiglia crypto AEAD sono stati testati tutti gli algoritmi proposti nelle seguenti implementazioni: ARMv7-M, ARMv7-M lowsize, ARMv7-M small, bi32, bi32 ARMv7-M, bi32 lowreg, bi32 lowsize, opt32, opt32 lowsize e ref.

Tabella 17: Spazio utilizzato famiglia AEAD.

	Sketch	Eseguibile	Pagine	Loading time
ascon128abi32				
bi32	21972 [4%]	23152	91	4.467
bi32 armv7m	38756 [7%]	39936	156	7.666
bi32 lowreg	17036 [3%]	18216	72	3.533
bi32 lowsize	13332 [2%]	14512	57	2.809
ref	14436 [2%]	15616	61	2.996
ascon128a				
armv7m	20692 [3%]	21872	86	4.212
armv7m lowsize	13220 [2%]	14400	57	2.785
armv7m small	14444 [2%]	15624	62	3.032
bi32	27252 [5%]	28432	112	5.499
bi32 armv7m	44964 [8%]	46144	181	8.889
bi32 lowreg	20844 [3%]	22024	87	4.270
bi32 lowsize	13644 [2%]	14824	58	2.857
opt32	60812 [11%]	61992	243	11.938
opt32 lowsize	13468 [2%]	14648	58	2.842
ref	14484 [2%]	15664	62	3.041
ascon128bi32				
bi32	20764 [3%]	21944	86	4.234
bi32 armv7m	35508 [6%]	36688	144	7.067
bi32 lowreg	16444 [3%]	17624	69	3.389
bi32 lowsize	13300 [2%]	14480	57	2.801
ref	13812 [2%]	14992	59	2.900
ascon128				
armv7m	19668 [3%]	20848	82	4.017
armv7m lowsize	13188 [2%]	14368	57	2.750
armv7m small	14052 [2%]	15232	60	2.939
bi32	24300 [4%]	25480	100	4.914
bi32 armv7m	39444 [7%]	40624	159	7.815
bi32 lowreg	18924 [3%]	20104	79	3.891
bi32 lowsize	13604 [2%]	14784	58	2.849
opt32	52620 [10%]	53800	211	10.365
opt32 lowsize	13428 [2%]	14608	58	2.845
ref	13852 [2%]	15032	59	2.899

Tabella 18: Prestazioni famiglia crypto AEAD nella fase di cifratura.

	0-m	0-a	0-M	1-m	1-a	1-M	16-m	16-a	16-M	32-m	32-a	32-M	48-m	48-a	48-M	64-m	64-a	64-M
ascon128av12																		
armv7m	47	47.0	47	64	64.0	64	90	90.2	91	119	119.4	121	148	148.2	150	177	177.4	179
armv7m lowsize	44	45.0	45	58	58.0	59	84	85.2	86	110	111.0	111	136	137.2	138	163	163.2	164
armv7m small	38	38.1	40	52	53.05	54	74	75.05	76	98	99.05	100	122	122.24	124	146	146.33	148
bi32	72	73.11	74	98	98.45	100	142	142.22	143	190	190.22	191	238	238.22	239	285	285.44	287
bi32 armv7m	40	40.0	41	56	57.0	58	79	80.2	81	106	107.0	107	133	134.2	135	160	161.2	162
bi32 lowreg	104	104.12	105	138	138.12	139	203	203.4	205	274	274.28	275	344	344.37	346	414	414.52	416
bi32 lowsize	108	108.12	110	141	141.12	142	210	210.2	211	278	279.28	280	347	347.6	349	416	416.4	418
opt32	64	65.16	67	89	89.12	90	156	157.16	158	225	225.96	227	295	295.32	296	364	364.36	365
opt32 lowsize	113	113.12	114	149	149.36	151	221	221.2	223	293	293.28	295	365	365.52	367	437	437.88	440
ref	145	146.0	146	186	186.0	188	288	289.0	289	391	391.0	392	493	493.01	496	597	598.0	598
ascon128abi32v12																		
bi32	68	69.08	70	92	93.12	94	134	134.16	135	177	177.44	179	220	221.24	222	264	264.28	266
bi32 armv7m	35	35.08	37	48	48.16	50	66	67.08	68	87	87.12	88	107	107.24	109	127	128.16	129
bi32 lowreg	109	109.28	111	141	142.08	143	209	210.16	211	279	280.24	281	349	350.32	351	419	420.36	421
bi32 lowsize	100	100.16	102	133	134.12	135	197	198.28	200	262	263.24	264	326	327.32	329	390	391.36	392
ref	293	294.27	295	383	383.4	384	582	583.6	584	784	785.56	787	987	987.0	988	1190	1190.2	1191
ascon128v12																		
armv7m	46	47.0	47	60	60.0	61	80	80.2	81	102	102.0	103	125	125.2	126	147	147.2	148
armv7m lowsize	44	44.04	45	56	56.08	57	75	75.08	76	93	93.16	95	112	112.12	114	131	131.12	132
armv7m small	37	38.04	39	49	49.08	51	66	66.08	67	84	84.16	86	102	102.24	104	121	121.12	122
bi32	73	73.08	74	94	94.12	95	125	125.12	126	160	160.2	162	196	196.2	197	231	231.24	233
bi32 armv7m	39	39.08	41	53	53.04	54	67	68.08	69	87	88.08	89	107	107.16	109	126	127.12	128
bi32 lowreg	102	102.12	103	127	128.16	130	176	176.16	177	226	227.2	228	278	279.24	280	330	331.27	332
bi32 lowsize	106	106.08	107	132	132.12	133	180	180.36	182	229	229.36	231	278	278.44	280	327	327.4	329
opt32	63	63.08	64	80	81.08	82	129	129.12	130	180	180.2	181	230	230.24	231	281	281.28	282
opt32 lowsize	110	110.16	112	138	138.12	139	190	190.16	192	241	241.24	243	293	293.29	295	344	344.32	346
ref	147	147.12	148	177	178.16	179	247	247.24	248	318	318.36	320	389	389.49	391	460	460.52	463
ascon128bi32v12																		
bi32	68	69.08	70	87	88.12	89	118	119.04	120	151	151.32	153	184	184.4	186	217	217.48	219
bi32 armv7m	34	34.08	36	45	45.08	46	59	59.08	60	75	75.08	76	91	91.12	92	107	107.12	108
bi32 lowreg	106	107.16	109	133	133.12	134	178	178.16	179	225	225.24	226	272	272.28	273	319	319.32	320
bi32 lowsize	101	101.08	102	126	126.28	128	172	172.36	174	218	219.16	220	265	265.24	266	311	311.32	313
ref	294	294.32	295	362	362.36	364	505	505.52	507	650	650.64	653	795	795.8	798	940	940.97	943

Tabella 19: Prestazioni famiglia crypto AEAD nella fase di decifratura.

	0-m	0-a	0-M	1-m	1-a	1-M	16-m	16-a	16-M	32-m	32-a	32-M	48-m	48-a	48-M	64-m	64-a	64-M
ascon128av12																		
armv7m	94	94.4	96	131	131.0	132	183	183.2	184	242	242.2	243	301	301.4	302	360	360.4	362
armv7m lowsize	86	86.4	88	114	114.0	114	167	168.2	169	221	221.2	222	275	275.4	276	328	328.4	330
armv7m small	78	78.05	79	107	108.05	109	151	151.24	153	200	200.29	202	249	249.34	251	298	298.38	300
bi32	146	146.11	147	200	200.11	201	287	287.33	288	384	384.44	385	480	480.67	482	577	577.56	579
bi32 armv7m	81	81.4	83	115	115.0	117	160	160.2	161	215	215.2	217	270	270.4	272	325	325.21	327
bi32 lowreg	209	209.25	211	278	278.28	279	410	410.44	412	553	553.56	554	695	695.8	698	838	838.84	841
bi32 lowsize	215	215.24	217	282	282.28	283	420	420.52	423	560	560.57	562	699	699.72	701	838	838.84	840
opt32	135	135.16	136	185	185.4	187	321	321.32	322	462	462.48	463	603	603.6	604	744	745.16	746
opt32 lowsize	223	223.24	224	297	297.32	298	442	442.44	443	587	587.61	590	732	732.76	735	877	878.36	881
ref	296	296.0	297	378	379.0	379	581	582.0	583	789	789.0	790	996	996.0	997	1204	1206.0	1206
ascon128abi32v12																		
bi32	138	139.16	140	188	189.2	190	270	270.56	272	357	358.36	359	445	445.97	448	533	533.56	534
bi32 armv7m	71	72.08	73	99	100.08	101	136	136.12	137	176	177.16	178	219	219.2	220	260	260.28	262
bi32 lowreg	221	221.24	222	286	287.32	288	427	427.44	428	573	574.21	576	720	721.28	723	867	867.96	870
bi32 lowsize	205	205.25	207	271	271.56	273	401	401.4	402	530	531.56	533	660	660.68	662	790	790.8	792
ref	591	592.56	593	772	772.76	774	1174	1174.6	1176	1579	1579.56	1581	1983	1983.96	1985	2389	2390.28	2392
ascon128v12																		
armv7m	93	94.2	95	125	125.0	126	162	162.2	163	207	207.2	208	252	252.2	253	297	297.2	298
armv7m lowsize	86	86.16	88	110	110.12	111	148	148.12	149	186	186.16	187	224	224.4	226	262	263.24	264
armv7m small	76	77.08	78	101	102.08	103	132	133.12	134	170	170.16	171	207	207.2	208	244	244.48	246
bi32	148	148.12	149	191	192.2	193	252	253.24	254	324	324.32	326	395	395.8	397	467	467.44	468
bi32 armv7m	79	79.08	80	107	107.24	109	137	137.24	139	178	178.16	179	218	218.4	220	259	259.24	261
bi32 lowreg	204	204.24	206	257	257.28	258	353	353.36	355	459	459.48	460	564	565.2	568	670	670.68	673
bi32 lowsize	215	216.24	217	267	267.56	269	366	366.4	367	464	464.52	466	563	563.56	565	662	662.68	664
opt32	129	129.12	131	166	166.16	167	262	262.24	263	364	364.36	366	466	466.45	469	568	568.56	570
opt32 lowsize	219	219.24	220	274	275.28	276	378	378.4	379	482	482.48	483	585	585.96	587	689	689.72	690
ref	301	301.56	303	364	364.72	367	503	503.52	504	646	646.68	647	788	789.48	791	931	931.96	934
ascon128bi32v12																		
bi32	138	138.12	140	177	177.16	179	238	238.24	240	304	304.32	306	371	371.36	372	437	437.44	439
bi32 armv7m	70	70.08	71	93	93.08	94	120	120.24	122	153	153.32	155	186	186.28	188	219	219.32	221
bi32 lowreg	214	215.24	216	270	271.28	272	356	357.36	358	450	450.92	452	544	544.56	546	638	638.64	640
bi32 lowsize	199	199.2	200	250	250.28	251	342	342.36	344	435	435.44	436	528	528.56	530	621	621.64	624
ref	592	593.56	594	730	730.72	732	1017	1017.0	1018	1309	1309.4	1311	1600	1600.64	1603	1891	1891.88	1892

Crypto hash

Per la famiglia crypto hash sono stati testati tutti gli algoritmi proposti nelle seguenti implementazioni: ARMv7-M, ARMv7-M lowsize, ARMv7-M small, bi32, bi32 ARMv7-M, bi32 lowreg, bi32 lowsize, opt32, opt32 lowsize e ref.

Tabella 20: Spazio utilizzato famiglia hash.

	Sketch	Eseguibile	Pagine	Loading time
asconhashabi32v12				
bi32	19852 [3%]	21032	83	4.066
bi32 armv7m	19140 [3%]	20320	80	3.921
bi32 lowreg	13508 [2%]	14688	58	2.843
bi32 lowsize	12380 [2%]	13560	53	2.605
ref	12380 [2%]	13560	53	2.603
asconhashav12				
armv7m	18812 [3%]	19992	79	3.871
armv7m lowsize	12260 [2%]	13440	53	2.593
armv7m small	12260 [2%]	13440	53	2.591
bi32	20444 [3%]	21624	85	4.164
bi32 armv7m	19788 [3%]	20968	82	4.028
bi32 lowreg	14036 [2%]	15216	60	2.945
bi32 lowsize	12668 [2%]	13848	55	2.689
opt32	27084 [5%]	28264	111	5.442
opt32 lowsize	12508 [2%]	13688	54	2.640
ref	12412 [2%]	13592	54	2.643
asconhashbi32v12				
bi32	16644 [3%]	17824	70	3.443
bi32 armv7m	21156 [4%]	22336	88	4.311
bi32 lowreg	13508 [2%]	14688	58	2.837
bi32 lowsize	12380 [2%]	12380	53	2.603
ref	12292 [2%]	13472	53	2.604
asconhashv12				
armv7m	15980 [3%]	17160	68	3.330
armv7m lowsize	12260 [2%]	13440	53	2.591
armv7m small	12260 [2%]	13440	53	2.591
bi32	17228 [3%]	18408	72	3.546
bi32 armv7m	21756 [4%]	22936	90	4.424
bi32 lowreg	14044 [2%]	15224	60	2.935
bi32 lowsize	12668 [2%]	13848	55	2.688
opt32	32412 [6%]	33592	132	6.474
opt32 lowsize	12508 [2%]	13688	54	2.648
ref	12340 [2%]	13520	53	2.606
asconxofav12				
armv7m	18812 [3%]	19992	79	3.877
armv7m lowsize	12260 [2%]	13440	53	2.600
armv7m small	12260 [2%]	13440	53	2.591
bi32	20444 [3%]	21624	85	4.172
bi32 armv7m	19788 [3%]	20968	82	4.038
bi32 lowreg	14036 [2%]	15216	60	2.936
bi32 lowsize	12668 [2%]	13848	55	2.689
opt32	27084 [5%]	28264	111	5.442
opt32 lowsize	12508 [2%]	13688	54	2.641
ref	12404 [2%]	13584	54	2.640
asconxofv12				
armv7m	15980 [3%]	17160	68	3.337
armv7m lowsize	12260 [2%]	13440	53	2.594
armv7m small	12260 [2%]	13440	53	2.591
bi32	17228 [3%]	18408	72	3.538
bi32 armv7m	21756 [4%]	22936	90	4.429
bi32 lowreg	14044 [2%]	15224	60	2.937
bi32 lowsize	12668 [2%]	13848	55	2.689
opt32	32412 [6%]	33592	132	6.481
opt32 lowsize	12508 [2%]	13688	54	2.648
ref	12332 [2%]	13512	53	2.619

Tabella 21: Prestazioni famiglia hash nella fase di cifratura.

	0-m	0-a	0-M	8-m	8-a	8-M	16-m	16-a	16-M	32-m	32-a	32-M	64-m	64-a	64-M	128-m	128-a	128-M	256-m	256-a	256-M	512-m	512-a	512-M	1024-m	1024-a	1024-M
asconhaahv12																											
arm7m	69	69.0	70	83	83.2	84	97	98.2	99	126	126.0	127	183	183.4	185	298	298.4		526	527.6		986	986.8	987	1902	1902.8	1904
arm7m lowsize	56	56.0	57	67	67.0	69	79	79.2	80	102	102.0	103	149	149.0	151	243	243.4		430	430.4		804	804.8	806	1554	1554.6	1557
arm7m small	55	56.0	57	67	67.0	69	79	79.4	80	102	102.0	103	149	149.0	151	242	243.4		429	430.4		804	804.8	806	1554	1555.0	1557
bi32	105	105.12	106	128	128.16	129	150	150.17	152	195	196.2	197	286	286.33	289	468	468.48		470	831	1559	1559.56	1560	3014	3015.04	3016	
bi32 arm7m	56	56.0	58	67	67.0	68	78	78.2	79	101	101.0	102	145	145.4	146	235	235.4		414	414.4		773	773.8	775	1492	1492.4	1495
bi32 lowreg	153	154.2	155	184	184.2	185	214	214.2	215	275	275.2	277	396	396.4	398	639	639.8		641	1126	1126.6	1128	2099	2100.0	2102	4045	4046.2
bi32 lowsize	144	144.2	145	175	175.2	176	206	206.2	208	268	268.2	271	392	393.4	394	641	642.8		643	1141	1141.61	1144	2139	2139.2	2140	4133	4134.2
opt32	138	138.0	139	171	171.2	173	204	205.2	207	272	272.2	274	406	406.4	409	675	675.6		677	1214	1215.2	1216	2292	2292.4	2293	4446	4446.6
opt32 lowsize	155	156.19	157	188	189.2	191	222	223.2	224	290	290.2	291	425	425.4	427	695	695.8		697	1236	1236.4	1238	2317	2317.4	2318	4479	4479.6
ref	244	244.2	245	287	287.2	289	329	329.2	331	414	414.4	416	584	584.61	587	926	926.0		926	1605	1605.61	1608	2969	2969.0	2969	5691	5692.4
asconhaahv12																											
bi32	100	101.12	102	122	122.12	123	143	143.44	145	186	186.24	188	272	272.28	273	443	444.44		445	786	787.8	789	1475	1475.48	1477	2849	2850.84
bi32 arm7m	51	52.0	53	61	62.04	63	71	71.12	72	91	91.08	93	130	130.12	132	209	209.2		210	365	366.32	367	679	680.64	682	1309	1310.32
bi32 lowreg	151	151.2	152	183	183.4	185	215	216.2	217	281	281.2	283	410	410.4	412	670	670.6		672	1191	1191.2	1192	2230	2230.2	2231	4310	4310.2
bi32 lowsize	139	140.2	141	169	170.2	171	200	200.2	201	260	260.4	262	381	381.4	384	623	623.8		625	1109	1109.2	1110	2078	2079.2	2080	4016	4016.01
ref	513	514.6	516	600	602.55	604	688	688.68	690	864	864.84	866	1215	1215.2	1217	1916	1916.68		1917	3318	3318.32	3321	6122	6123.2	6124	11730	11730.88
asconhaahv12																											
arm7m	85	86.08	87	105	106.12	107	125	125.28	127	165	165.16	167	243	244.24	245	402	402.76		405	719	719.72	720	1354	1354.84	1356	2623	2623.64
arm7m lowsize	70	70.08	72	87	87.12	88	103	103.28	105	136	136.68	138	202	203.2	204	335	335.37		338	600	600.6	602	1131	1132.16	1133	2193	2193.2
arm7m small	70	70.12	72	87	87.12	88	103	103.24	105	136	136.4	138	202	203.6	204	335	335.37		338	600	600.6	602	1131	1132.12	1133	2193	2193.2
bi32	135	136.2	137	168	168.2	170	201	201.21	204	267	267.2	268	398	398.4	401	661	661.8		664	1188	1189.2	1190	2241	2242.2	2243	4348	4348.4
bi32 arm7m	71	71.08	72	86	86.08	87	102	102.12	103	132	132.12	133	193	193.2	194	315	315.32		316	559	559.57	562	1049	1049.68	1050	2027	2028.04
bi32 lowreg	195	196.2	197	244	245.2	246	294	294.21	297	383	383.4	395	591	591.61	594	989	989.2		990	1782	1782.4	1784	3370	3370.4	3372	6545	6545.6
bi32 lowsize	188	188.2	189	233	233.6	235	279	279.2	284	371	371.4	372	554	554.61	557	922	922.0		923	1654	1654.41	1657	3124	3124.0	3125	6059	6059.4
opt32	192	193.19	194	242	242.2	243	291	292.2	294	382	382.2	394	591	592.6	594	994	994.0		995	1794	1794.81	1797	3399	3399.4	3401	6606	6606.6
opt32 lowsize	203	203.53	205	253	253.44	255	303	303.32	304	402	402.36	405	601	602.57	604	1002	1002.96		1003	1790	1800.61	1802	3397	3398.36	3399	6591	6592.56
ref	300	300.32	301	361	361.36	363	422	422.92	424	545	545.52	547	790	790.76	792	1281	1282.28		1283	2263	2263.24	2265	4226	4226.2	4229	8151	8151.12
asconhaahv12																											
bi32	131	132.2	133	163	164.19	165	195	195.2	196	258	259.2	261	385	386.4	387	640	641.2		642	1151	1151.2	1152	2170	2171.2	2172	4209	4209.4
bi32 arm7m	66	66.2	67	80	80.0	82	94	95.0	96	123	123.2	125	180	180.2	182	294	294.2		296	522	523.21	525	981	981.0	982	1895	1895.01
bi32 lowreg	198	198.2	200	247	247.2	250	295	295.2	297	392	392.2	393	585	586.01	588	974	975.0		975	1749	1749.81	1751	3301	3301.2	3303	6404	6404.4
bi32 lowsize	183	184.0	185	228	228.21	231	273	273.2	275	362	362.4	364	542	542.6	544	902	902.41		904	1621	1621.61	1624	3060	3060.2	3061	5935	5935.81
ref	637	639.5	641	766	767.58	769	895	896.34	898	1155	1155.3	1157	1670	1670.8	1672	2702	2703.51		2704	4767	4767.98	4770	8897	8897.89	8900	17157	17157.2
asconcofavi12																											
arm7m	69	69.2	71	83	84.19	85	98	98.2	99	126	126.2	127	183	184.2	185	298	298.4		300	526	527.6	529	986	987.0	987	1902	1902.8
arm7m lowsize	55	55.8	57	67	67.2	69	79	79.2	80	102	103.0	103	149	149.2	151	242	243.4		245	430	430.4	431	804	804.8	807	1554	1555.2
arm7m small	55	56.0	57	67	67.8	68	79	79.2	80	102	103.0	103	149	149.2	150	243	243.4		245	430	430.4	431	804	804.8	806	1555	1555.6
bi32	105	105.12	106	128	128.16	129	150	150.21	152	196	196.2	197	286	286.76	289	468	468.48		469	831	1559	1559.56	1560	3014	3015.04	3016	
bi32 arm7m	56	56.0	58	67	67.0	68	78	78.2	79	101	101.0	102	145	145.4	146	235	235.4		237	414	414.4	416	773	773.8	775	1492	1492.4
bi32 lowreg	153	153.2	154	183	183.6	185	214	214.2	215	274	274.2	277	396	396.4	397	639	639.8		641	1126	1126.2	1128	2099	2099.2	2102	4045	4045.2
bi32 lowsize	144	144.2	145	175	175.2	176	206	206.2	207	268	268.21	271	392	393.0	394	641	641.8		643	1141	1141.21	1144	2139	2139.2	2140	4133	4134.0
opt32	137	138.0	139	171	172.2	173	205	205.2	207	272	272.2	274	408	407.4	408	675	675.8		678	1215	1215.2	1216	2292	2292.4	2293	4446	4446.6
opt32 lowsize	155	155.2	156	189	189.2	190	222	223.2	224	290	290.2	291	425	425.4	427	694	695.6		697	1236	1236.2	1237	2316	2317.4	2318	4478	4479.4
ref	242	243.0	244	285	285.6	288	328	328.2	329	413	414.4	417	584	585.6	586	927	929.0		929	1613	1613.6	1615	2984	2985.0	2985	5725	5725.6
asconcofavi12																											
arm7m	85	86.08	87	105	106.12	107	125	125.36	127	165	165.16	167	243	244.24	245	402	402.92		405	719	719.72	720	1354	1354.96	1356	2623	2623.65
arm7m lowsize	70	70.12	72	87	87.12	88	103	103.24	105	136	136.4	138	202	203.6	204	335	335.37		338	600	600.6	602	1131	1132.12	1133	2193	2193.2
arm7m small	70	70.08	72	87	87.12	88	103	103.28	105	136	136.68	138	202	203.2	204	335	335.37		338	600	600.6	602	1131	1132.16	1133	2193	2193.2
bi32	136	136.2	137	168	169.2	170	201	201.6	204	267	267.2	269	398	399.0	401	661	661.8		663	1189	1189.2	1190	2242	2242.2	2243	4348	4348.4
bi32 arm7m	71	71.08	72	86	86.08	87	101	102.12	103	132	132.12	133	193	193.2	195	315	315.32		316	559	55						

Crypto auth

Per la famiglia crypto hash sono stati testati tutti gli algoritmi proposti nelle seguenti implementazioni: ARMv7-M, ARMv7-M small, bi32, bi32 ARMv7-M, bi32 lowreg, opt32 e ref.

Tabella 22: Spazio utilizzato famiglia auth.

	Sketch	Eseguibile	Pagine	Loading time
asconmacav12				
armv7m	19060 [3%]	20240	80	3.950
armv7m small	12580 [2%]	13760	54	2.652
bi32	21276 [4%]	22456	88	4.330
bi32 armv7m	23420 [4%]	24600	97	4.762
bi32 lowreg	15348 [2%]	16528	65	3.193
opt32	32212 [6%]	33392	131	6.431
ref	12764 [2%]	13944	55	2.689
asconmacv12				
armv7m	16236 [3%]	17416	69	3.378
armv7m small	12588 [2%]	13768	54	2.652
bi32	18068 [3%]	19248	76	3.722
bi32 armv7m	25572 [4%]	26752	105	5.147
bi32 lowreg	15340 [2%]	16520	65	3.193
opt32	37556 [7%]	38736	152	7.464
ref	12700 [2%]	13880	55	2.690
asconprfav12				
armv7m	19060 [3%]	20240	80	3.927
armv7m small	12580 [2%]	13760	54	2.653
bi32	21268 [4%]	22448	88	4.329
bi32 armv7m	23396 [4%]	24576	96	4.716
bi32 lowreg	15324 [2%]	16504	65	3.191
opt32	32212 [6%]	33392	131	6.431
ref	12764 [2%]	13944	55	2.689
asconprfsv12				
armv7m	16244 [3%]	17424	69	3.405
armv7m small	12588 [2%]	13768	54	2.655
bi32	18180 [3%]	19360	76	3.734
bi32 armv7m	16500 [3%]	17680	70	3.434
bi32 lowreg	13868 [2%]	15048	59	2.899
opt32	16836 [3%]	18016	71	3.476
ref	12508 [2%]	13688	54	2.640
asconprfv12				
armv7m	16236 [3%]	17416	69	3.383
armv7m small	12588 [2%]	13768	54	2.652
bi32	18052 [3%]	19232	76	3.722
bi32 armv7m	25548 [4%]	26728	105	5.155
bi32 lowreg	15324 [2%]	16504	65	3.181
opt32	37556 [7%]	38736	152	7.458
ref	12700 [2%]	13880	55	2.696

4.2.3 Raspberry Pi 3 Model B

L'ultima board testata è un prodotto Raspberry, con un processore 64 bit quad core 1.2 GHz Broadcom BCM2837 con 1GB di RAM[20]. L'architettura della board non è presente nelle ottimizzazioni fornite da ASCON, quindi saranno testate al massimo tre implementazioni per algoritmo.

Nelle tabelle dei tempi di esecuzione sono presenti numerose celle con valore 1. Questo perché la quasi totalità di queste in realtà dovrebbero contenere 0: la board di Raspberry, essendo molto veloce, ha tempi sotto il microsecondo, che non possono essere rilevati dalla suite di test. Inoltre, sono presenti numerosi *outliers*, dovuti principalmente al sistema operativo durante la fase di scheduling dei processi.

Crypto AEAD

Per la famiglia crypto AEAD sono stati testati tutti gli algoritmi proposti nelle seguenti implementazioni: `opt64`, `opt64 lowsize` e `ref`.

Tabella 25: Spazio utilizzato famiglia AEAD.

Implementazione	Eseguibile
ascon128av12	
opt64	30832
opt64 lowsize	18848
ref	30792
ascon128v12	
opt64	26488
opt64 lowsize	18600
ref	30520

Tabella 26: Prestazioni famiglia crypto AEAD nella fase di cifratura.

	0-m	0-a	0-M	1-m	1-a	1-M	8-m	8-a	8-M	16-m	16-a	16-M	24-m	24-a	24-M	32-m	32-a	32-M
ascon128av12																		
opt64	1	1.01	8	1	1.55	11	1	1.82	40	2	2.28	34	2	2.63	38	2	3.02	37
opt64 lwsz	1	1.01	6	1	1.01	6	1	1.23	46	1	1.47	6	1	1.78	17	1	2.06	7
ref	1	1.14	10	1	1.48	11	2	2.35	129	2	2.67	42	2	3.25	100	3	3.72	105
ascon128v12																		
opt64	1	1.04	10	1	1.2	12	1	1.31	10	1	1.6	10	1	1.95	11	2	2.27	12
opt64 lwsz	1	1.24	10	1	1.66	34	2	2.08	12	2	2.49	12	2	3.02	40	3	3.39	39
ref	1	1.07	11	1	1.29	11	1	1.67	11	1	2.02	12	2	2.37	12	2	2.84	61

Tabella 27: Prestazioni famiglia crypto AEAD nella fase di decifratura.

	0-m	0-a	0-M	1-m	1-a	1-M	8-m	8-a	8-M	16-m	16-a	16-M	24-m	24-a	24-M	32-m	32-a	32-M
ascon128av12																		
opt64	1	1.69	26	2	2.53	13	3	3.17	14	3	4.17	99	4	4.8	17	5	5.57	16
opt64 lwsz	1	1.24	7	1	1.67	24	2	2.31	27	2	2.99	22	3	3.62	52	4	4.11	22
ref	2	2.35	97	2	2.8	12	3	4.2	185	4	5.06	113	5	6.08	17	6	7.34	136
ascon128v12																		
opt64	1	1.6	23	2	2.64	13	2	2.75	38	3	3.39	27	3	4.24	130	4	4.58	31
opt64 lwsz	2	2.59	90	3	3.21	25	3	4.08	29	4	5.21	36	5	6.07	43	6	6.79	35
ref	2	2.32	94	2	2.72	41	3	3.52	14	4	4.28	16	4	5.13	43	5	5.82	42

Crypto hash

Per la famiglia crypto hash sono stati testati tutti gli algoritmi proposti nelle seguenti implementazioni: `opt64`, `opt64 lowsize` e `ref`.

Tabella 28: Spazio utilizzato famiglia hash.

Implementazione	Eseguibile
asconhashv12	
opt64	18192
opt64 lowsize	14192
ref	18104
asconhashv12	
opt64	18192
opt64 lowsize	14192
ref	18152
asconxofav12	
opt64	18192
opt64 lowsize	14192
ref	18104
asconxofv12	
opt64	18192
opt64 lowsize	14192
ref	18152

Tabella 29: Prestazioni famiglia hash.

	0-m	0-a	8-m	8-a	8-M	16-m	16-a	16-M	32-m	32-a	32-M	64-m	64-a	64-M	128-m	128-a	128-M	256-m	256-a	256-M	512-m	512-a	512-M	1024-m	1024-a	1024-M
asconhashv12																										
opt64	1	1.21	27	1	1.43	25	1	1.67	11	1	2.11	105	2	2.82	25	4	4.43	14	7	7.67	31	13	14.44	26	27.07	124
opt64 lowsize	1	1.54	22	1	1.78	19	1	2.18	85	2	2.63	13	3	3.75	24	5	6.06	16	9	10.58	53	18	19.66	35	37.62	80
ref	1	1.46	11	1	1.7	40	1	1.91	12	2	2.37	11	3	3.38	33	5	5.32	38	8	9.17	96	16	17.22	31	32.63	289
asconhashv12																										
opt64	1	1.53	34	1	1.84	25	2	2.18	24	2	2.77	14	3	3.88	13	6	6.37	16	10	11.21	43	20	21.02	39	40.64	128
opt64 lowsize	1	1.9	22	2	2.22	11	2	2.6	13	3	3.46	12	4	5.02	14	8	8.16	29	14	14.71	44	26	27.49	60	51	53.21
ref	2	2.14	12	2	2.55	26	2	2.85	13	3	3.55	26	4	5.01	27	7	7.91	39	13	13.73	39	24	25.09	46	48.29	101
asconxofv12																										
opt64	1	1.3	22	1	1.48	11	1	1.68	10	1	2.11	13	2	2.88	12	4	4.58	38	7	7.9	102	13	14.21	26	27.18	63
opt64 lowsize	1	1.51	11	1	1.84	34	1	2.13	12	2	2.64	32	3	3.82	23	5	6.14	37	9	10.63	35	18	19.57	61	35	37.5
ref	1	1.35	10	1	1.6	10	1	1.93	94	2	2.33	12	3	3.3	25	5	5.23	27	8	9.08	40	16	16.78	31	32.16	80
asconxofv12																										
opt64	1	1.58	13	1	1.85	17	2	2.16	12	2	2.7	11	3	3.97	36	6	6.51	29	10	11.2	44	20	20.91	54	39	40.21
opt64 lowsize	1	1.87	12	2	2.46	212	2	2.66	24	3	3.55	44	4	5.14	32	8	8.27	29	14	14.64	62	26	27.57	51	51	53.23
ref	2	2.14	12	2	2.6	34	2	2.94	32	3	3.55	13	4	5.0	15	7	7.96	42	13	13.75	45	24	25.35	46	48.18	82

Crypto auth

Per la famiglia crypto auth sono stati testati tutti gli algoritmi proposti nelle seguenti implementazioni: **opt64** e **ref**.

Tabella 30: Spazio utilizzato famiglia auth.

Implementazione	Eseguibile
asconmacav12	
opt64	18272
ref	18224
asconmacv12	
opt64	18272
ref	18248
asconprfav12	
opt64	18272
ref	18224
asconprfsv12	
opt64	18392
ref	18360
asconprfv12	
opt64	18272
ref	18248

Tabella 31: Prestazioni famiglia auth nella fase di generazione del codice.

	0-m	0-a	8-m	8-a	16-m	16-a	32-m	32-a	64-m	64-a	128-m	128-a	256-M	256-a	512-M	512-a	1024-m	1024-a									
ascommacv12																											
	1	1.02	11	1	1.02	10	1	1.04	32	1	1.07	25	1	1.31	10	1	1.86	34	2	2.81	27	4	4.67	38	8	8.63	48
ref	1	1.14	20	1	1.14	10	1	1.16	23	1	1.17	10	1	1.67	89	2	2.12	23	2	3.11	13	4	5.21	30	9	9.45	31
ascommacv12																											
	1	1.05	10	1	1.03	10	1	1.04	10	1	1.5	11	1	1.86	11	2	2.66	27	4	4.21	26	7	7.29	29	13	13.73	77
ref	1	1.01	5	1	1.0	2	1	1.0	1	1	1.01	6	1	1.02	5	1	1.45	14	2	2.3	8	3	4.05	9	7	7.56	25
asconprfv12																											
	1	1.04	10	1	1.0	2	1	1.04	10	1	1.02	10	1	1.26	3	1	1.85	11	2	2.74	26	4	4.7	33	8	8.74	87
ref	1	1.12	11	1	1.17	35	1	1.12	2	1	1.21	11	1	1.58	3	2	2.22	24	3	3.17	29	4	5.29	35	9	9.66	137
asconprfv12																											
	1	1.04	36	1	1.08	70	1	1.01	9																		
ref	1	1.01	9	1	1.02	9	1	1.01	9																		
asconprfv12																											
	1	1.03	11	1	1.02	12	1	1.04	22	1	1.34	10	1	1.73	34	2	2.58	36	3	4.06	14	6	7.1	31	13	13.52	101
ref	1	1.02	5	1	1.01	6	1	1.0	1	1	1.02	18	1	1.02	6	1	1.45	6	2	2.35	13	3	4.08	20	7	7.57	23

Tabella 32: Prestazioni famiglia auth nella fase di verifica del codice.

	0-m	0-a	0-M	8-m	8-a	16-m	16-a	32-m	32-a	32-M	64-m	64-a	64-M	128-m	128-a	128-M	256-m	256-a	256-M	512-m	512-a	512-M	1024-m	1024-a	1024-M		
ascommacv12																											
opt64	1	1.74	12	1	1.83	25	1	1.86	24	1	1.87	24	2	2.43	12	3	3.6	14	5	5.53	28	9	9.24	19	16	17.16	28
ref	1	2.15	24	2	2.19	35	2	2.19	34	2	2.28	24	2	2.87	12	3	4.13	29	5	6.11	17	9	10.25	64	18	18.65	53
ascommacv12																											
opt64	1	1.8	10	1	1.92	24	1	1.92	12	2	2.76	43	3	3.6	42	4	5.11	16	7	8.26	92	14	14.44	39	26	26.99	66
ref	1	1.08	14	1	1.11	6	1	1.12	6	1	1.5	12	1	1.99	21	2	2.85	15	4	4.63	51	7	8.08	18	14	15.07	32
asconprfv12																											
opt64	1	1.78	13	1	1.74	12	1	1.92	38	1	1.86	11	2	2.44	14	3	3.62	14	5	5.58	52	9	9.34	87	16	17.5	208
ref	2	2.17	53	2	2.19	59	2	2.27	53	2	2.23	11	2	2.97	42	4	4.26	35	6	6.24	36	9	10.13	30	18	18.83	73
asconprfv12																											
opt64	1	1.44	222	1	1.15	11	1	1.18	11																		
ref	1	1.07	10	1	1.09	2	1	1.32	111																		
asconprfv12																											
opt64	1	1.77	11	1	1.86	32	1	1.87	11	2	2.7	71	3	4.71	1352	4	4.95	27	7	8.12	75	13	14.46	79	26	27.09	100
ref	1	1.09	22	1	1.13	6	1	1.11	5	1	1.5	7	1	1.95	6	2	2.88	48	4	4.57	9	7	8.14	51	14	15.08	31

4.3 Analisi dei risultati

In ultima istanza, i risultati ottenuti sono stati analizzati con dei notebook Jupyter per ricercare le implementazioni migliori e peggiori per ogni algoritmo presente nella suite ASCON. L'algoritmo `ascon80pq`, facente parte della famiglia AEAD, non è stato preso in esame poiché non presente nella gara del NIST, essendo un algoritmo *post-quantum*.

I grafici seguenti contengono sull'asse delle x i nomi delle implementazioni testate e sull'asse delle y i corrispondenti tempi di esecuzione in tre “barre”, che rappresentano, rispettivamente, le rilevazioni minima, media e massima.

In questo capitolo verranno usati i termini “algoritmi classici” per indicare gli algoritmi “base” che sono stati presentati da ASCON e “algoritmi bi32” per indicare gli algoritmi classici compilati con delle ottimizzazioni per le architetture a 32 bit.

4.3.1 Adafruit ItsyBitsy M0 Express

Crypto AEAD

Algoritmi bi32 In termini di tempi di esecuzione, l'implementazione `bi32 armv6m` è risultata la migliore in tutte le grandezze di plaintext, seguita dalle implementazioni `bi32` e `ref`; invece le implementazioni `bi32 lowreg` e `bi32 lowsize` hanno avuto esito opposto, occupando a rotazione le prime due posizioni in tutte le grandezze di plaintext.

Considerando invece la dimensione dell'eseguibile, l'implementazione `bi32 lowsize` è la migliore in tutte le grandezze di plaintext, subito seguita dalla `bi32 armv6m`, confermando quindi la sua ottima posizione ottenuta nei tempi di esecuzione. L'implementazione peggiore è la `ref`, la quale si era classificata bene nella classifica precedente.

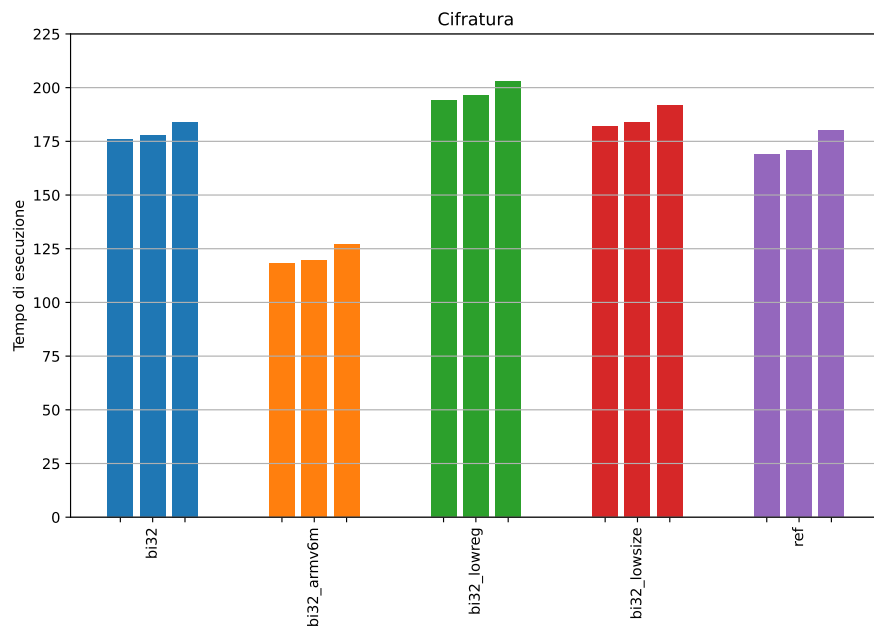


Figura 1: Plaintext di 0 byte con `ascon128abi32`.

Algoritmi no bi32 In termini di tempi di esecuzione, l'implementazione `armv6m` si classifica prima in tutte le grandezze di plaintext, seguita da `armv6m lowsize` e `bi32 armv6m`, mentre le implementazioni `bi32 lowreg` e `opt32 lowsize` sono le peggiori.

Per quanto riguarda la dimensione dell'eseguibile, le implementazioni con `lowsize` nel nome sono risultate le migliori in tutte le grandezze di plaintext, seguite poco dopo dalla `armv6m`, confermando quindi la sua ottima posizione ottenuta nei tempi di esecuzione. Le implementazioni peggiori invece sono state la `opt32` e la `ref`, con un'occupazione dello spazio circa il quadruplo dell'implementazione migliore.

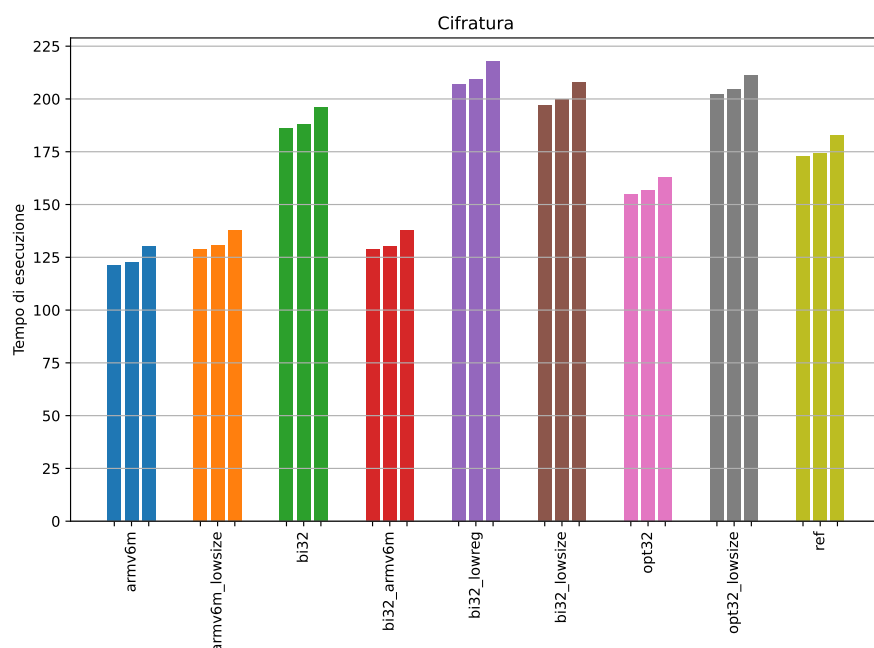
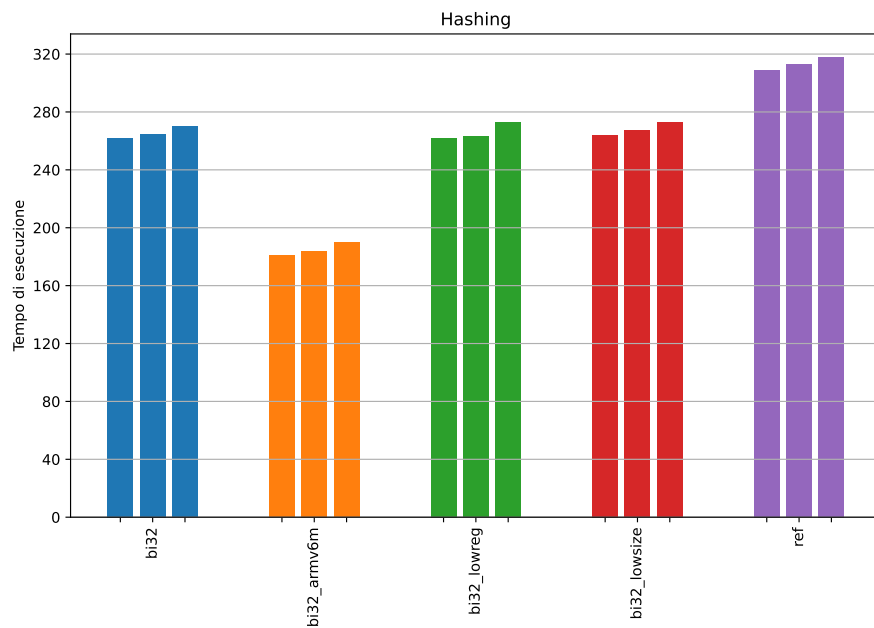


Figura 2: Plaintext di 0 byte con **ascon128a**.

Crypto hash

Algoritmi bi32 In termini di tempi di esecuzione, l'implementazione **bi32 armv6m** è risultata la migliore in tutte le grandezze di plaintext, seguita a pari merito dalle altre implementazioni. Per plaintext fino a 64 byte, l'implementazione **ref** è stata la peggiore, mentre è diventata la seconda più veloce con plaintext più grandi, lasciando il primo posto come peggiore all'implementazione **bi32 lowsize**.

Per la dimensione dell'eseguibile, l'implementazione **bi32 lowsize** è risultata la migliore in tutte le grandezze di plaintext, seguita poco dopo dalla **bi32 armv6m**, confermando quindi la sua ottima posizione ottenuta nei tempi di esecuzione. L'implementazione peggiore invece è la **ref**, con una dimensione doppia rispetto a quella migliore.

Figura 3: Plaintext di 0 byte con `asconhashabi32`.

Algoritmi no bi32 In termini di tempi di esecuzione, l'implementazione `armv6m` è risultata la migliore in tutte le grandezze di plaintext, anche se le implementazioni `armv6m lowsize` e `bi32 armv6m` hanno tempi molto simili; le implementazioni `opt32 lowsize` e `ref` sono risultate le peggiori.

Come prima, nella la dimensione dell'eseguibile le implementazioni con `lowsize` nel nome sono risultate le migliori in tutte le grandezze di plaintext, seguite poco dopo dalla `armv6m`. L'implementazione peggiore invece è la `ref`, che si riconferma la peggiore implementazione: in questo caso ha occupato quasi il triplo dello spazio della migliore implementazione.

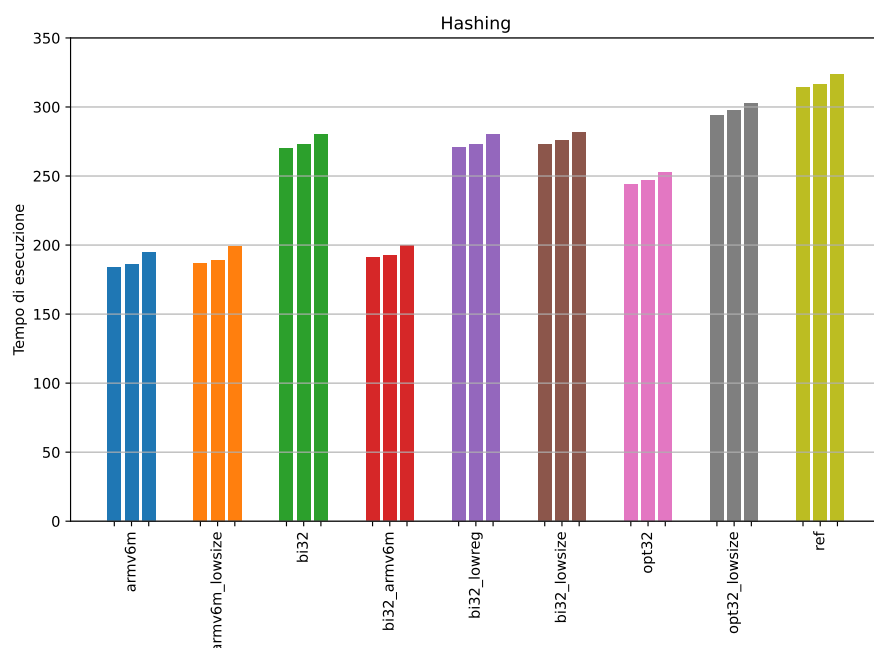


Figura 4: Plaintext di 0 byte con `asconhasha`.

Algoritmi XOF In termini di tempi di esecuzione, l'implementazione `armv6m` è risultata la migliore in tutte le grandezze di plaintext, seguita dalle implementazioni `armv6m_lowsize` e `bi32_armv6m`, mentre le implementazioni `opt32_lowsize` e `ref` sono risultate le peggiori.

Osservando la dimensione dell'eseguibile, le implementazioni con `lowsize` nel nome sono risultate le migliori in tutte le grandezze di plaintext, seguite poco dopo dalla `armv6m`. L'implementazione peggiore invece è la `ref`, occupando quasi il triplo dello spazio che occupa l'implementazione migliore e confermando, come negli algoritmi no `bi32`, la sua posizione generale pessima.

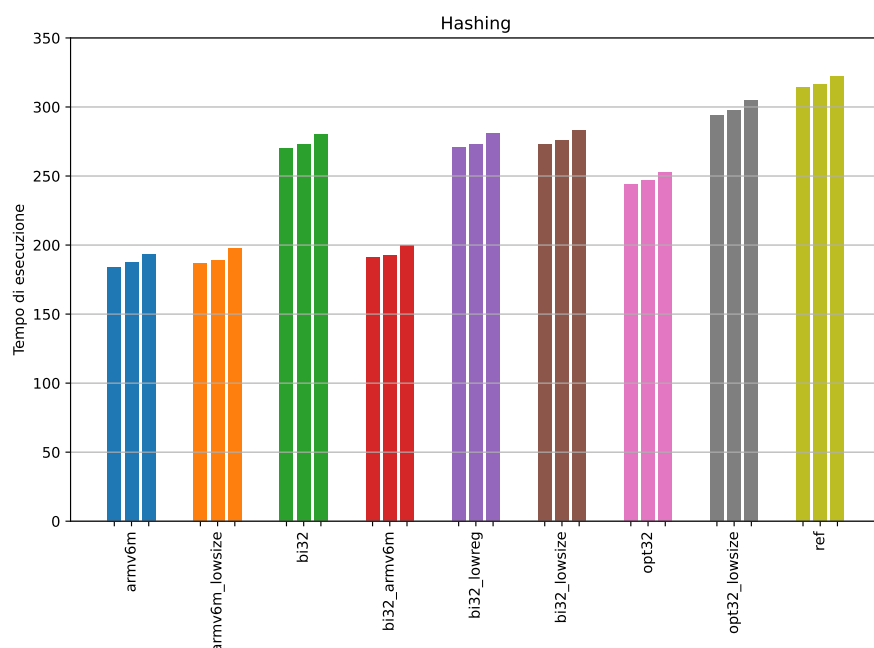


Figura 5: Plaintext di 0 byte con **asconxofa**.

Crypto auth

Algoritmi MAC In termini di tempi di esecuzione, l'implementazione **armv6m** è risultata la migliore in tutte le grandezze di plaintext, seguita dalle implementazioni **bi32 armv6m** e **opt32**, anche se quest'ultima è più lenta di circa il 21/27% rispetto alla prima classificata se consideriamo l'algoritmo **asconmaca**; le implementazioni **bi32**, **bi32 lowreg** e **ref** si contendono invece i primi posti come peggiori.

Considerando la dimensione dell'eseguibile, l'implementazione **armv6m** è ancora la migliore, confermandosi come migliore implementazione in ogni aspetto, seguita dalle implementazioni **bi32 armv6m** e **bi32 lowreg**. Le implementazioni peggiori invece sono la **opt32** e la **ref**, con una dimensione doppia rispetto a quella migliore.

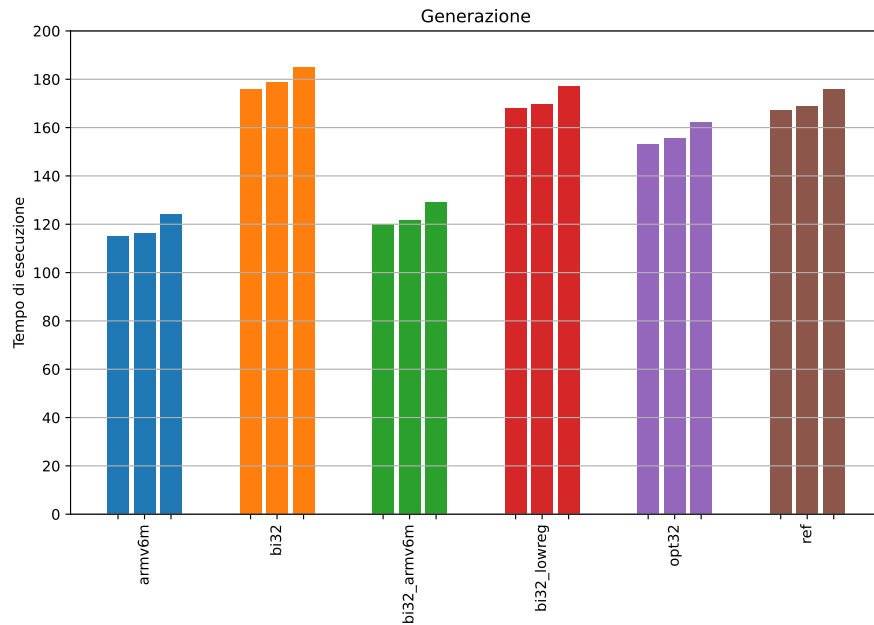


Figura 6: Plaintext di 0 byte con `asconmaca`.

Algoritmi PRF In termini di tempi di esecuzione, l'implementazione `armv6m` è risultata la migliore in tutte le grandezze di plaintext, seguita dalle implementazioni `bi32 armv6m` e `opt32` hanno tempi molto simili, mentre le implementazioni `bi32`, `bi32 lowreg` e `ref` sono risultate le peggiori.

Osservando invece la dimensione dell'eseguibile, l'implementazione `armv6m` è ancora la migliore, confermandosi come migliore implementazione in ogni aspetto, seguita dalle implementazioni `bi32 armv6m` e `bi32 lowreg`. Le implementazioni peggiori invece sono la `opt32` e la `ref`, con una dimensione doppia rispetto a quella migliore.

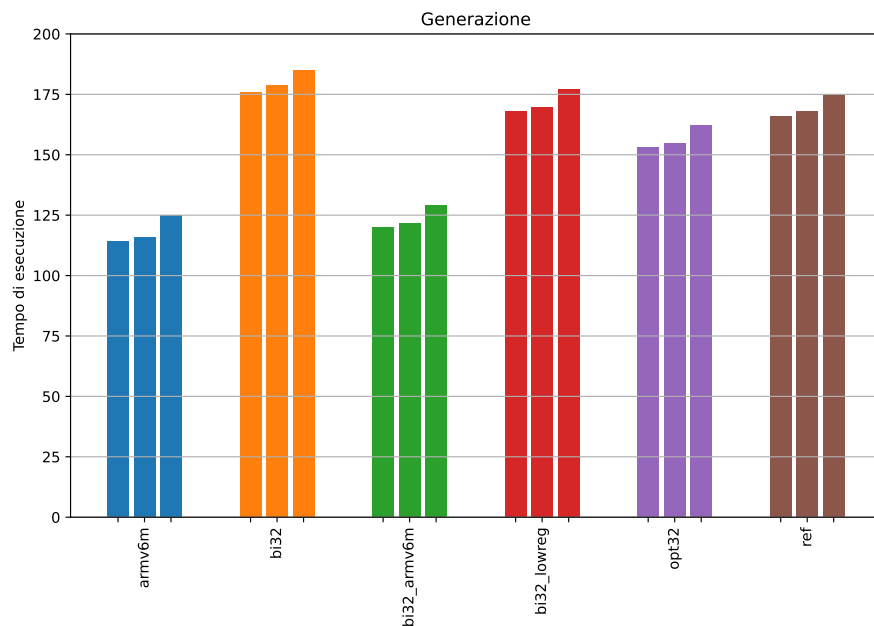


Figura 7: Plaintext di 0 byte con `asconprfa`.

Recap finale

Dalle analisi precedenti, possiamo quindi affermare che le implementazioni `armv6m` e `bi32 armv6m` sono risultate le migliori in ogni algoritmo considerato, mentre alcune implementazioni che avevano dei flag di ottimizzazione specifici, come ad esempio le implementazioni `bi32`, si sono comportate peggio di quelle prive di flag.

4.3.2 Arduino Due

Crypto AEAD

Algoritmi bi32 In termini di tempi di esecuzione, l'implementazione `bi32 armv7m` è risultata la migliore in tutte le grandezze di plaintext, seguita dalle implementazioni `bi32` generiche, mentre l'implementazione `ref` è risultata la peggiore: infatti, risulta quasi tre volte più lenta della seconda peggiore e poco meno di dieci volte più lenta di quella migliore.

Nello studio della dimensione dell'eseguibile l'implementazione `bi32 lowsize` è risultata la migliore in tutte le grandezze di plaintext, seguita dalla `ref`, che si riprende dopo la pessima posizione ottenuta nei tempi di esecuzione. L'implementazione peggiore invece è la `bi32 armv7m`, che invece era la migliore nei tempi di esecuzione.

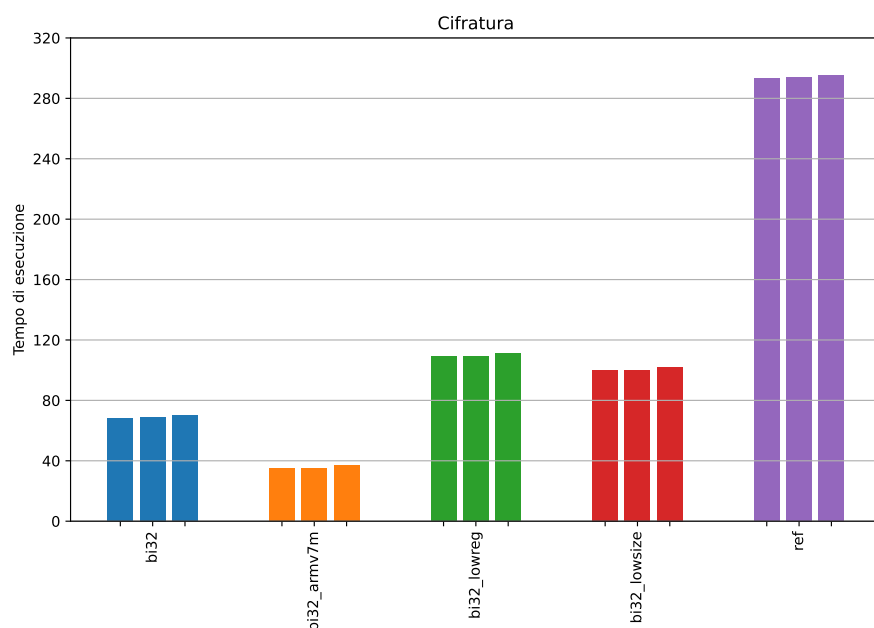


Figura 8: Plaintext di 0 byte con `ascon128abi32`.

Algoritmi no bi32 In termini di tempi di esecuzione, l'implementazione `armv7m small` è risultata la migliore in tutte le grandezze di plaintext, seguita dalle implementazioni `bi32 armv7m`, `armv7m lowsize` e `armv7m`, mentre l'implementazione `ref` è risultata la peggiore di quasi quattro volte rispetto alla migliore.

Per quanto riguarda la dimensione dell'eseguibile, le implementazioni con `lowsize` e `small` nel nome sono risultate le migliori in tutte le grandezze di plaintext, seguite dalla `ref`, che si riprende dopo la pessima posizione ottenuta nei tempi di esecuzione, e dalla `armv7m small`, che si dimostra quindi un'ottima soluzione anche per lo spazio occupato. L'implementazione peggiore invece è la `ref`, occupando quasi il quadruplo dello spazio che occupa l'implementazione migliore.

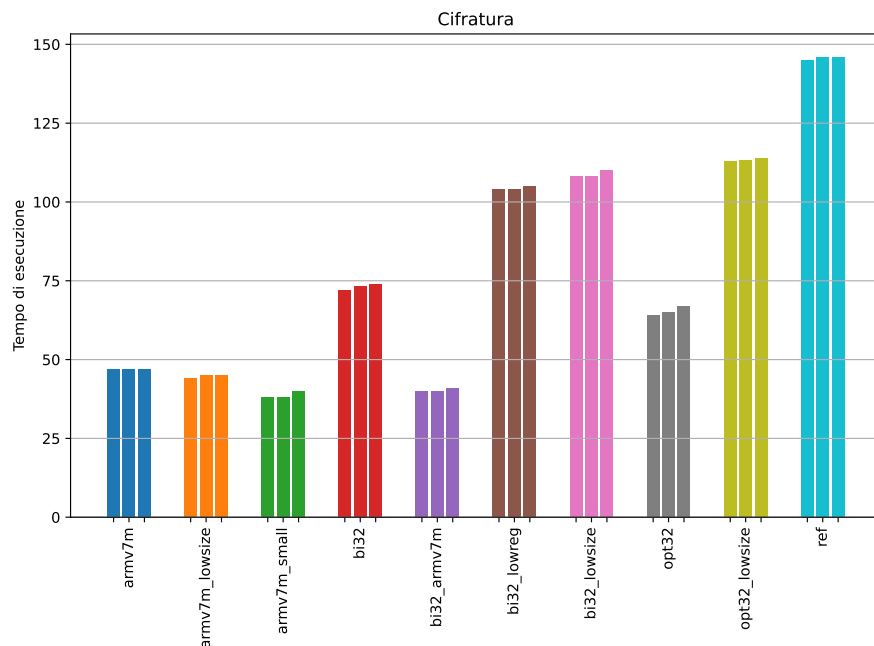


Figura 9: Plaintext di 0 byte con **ascon128a**.

Crypto hash

Algoritmi bi32 In termini di tempi di esecuzione, l'implementazione **bi32 armv7m** è risultata la migliore in tutte le grandezze di plaintext, seguita dalle altre implementazioni **bi32**. L'implementazione **ref** è invece la peggiore, che è oltre tre volte più lenta della seconda peggiore e dieci volte più lenta di quella migliore.

Per la dimensione dell'eseguibile, l'implementazione **bi32 lowsize** è risultata la migliore in tutte le grandezze di plaintext, seguita dalla **ref**, che si riprende dopo la pessima posizione nei tempi di esecuzione. Le implementazioni peggiori sono invece la **bi32 armv7m**, che tuttavia compensa con il migliore tempo di esecuzione, e la **bi32**.

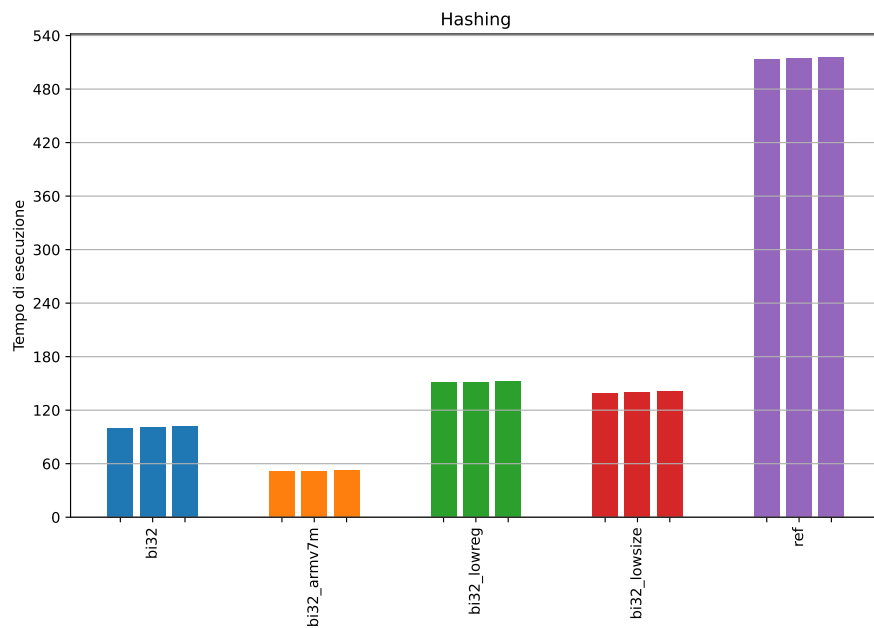


Figura 10: Plaintext di 0 byte con `asconhashabi32`.

Algoritmi no bi32 In termini di tempi di esecuzione, le implementazioni `bi32 armv7m`, `armv7m small` e `armv7m lowsize` sono risultate le migliori, con la `bi32 armv7m` che diventa la migliore se la grandezza dei plaintext aumenta, mentre le implementazioni della famiglia `opt32` e `ref` sono risultate le peggiori, anche se quest'ultima è più lenta del 23/27% rispetto alle altre.

Oltre alla classica `lowsize`, nella dimensione dell'eseguibile le implementazioni con `lowreg` e `small` nel nome sono risultate le migliori in tutte le grandezze di plaintext, seguite poco dopo dalla `bi32 armv7m`, confermando quindi la sua ottima posizione ottenuta nei tempi di esecuzione, e dalla `ref`, che recupera parzialmente la pessima posizione nei tempi di esecuzione. L'implementazione peggiore invece è la `opt32`, la quale occupa quasi il triplo dello spazio dell'implementazione migliore.

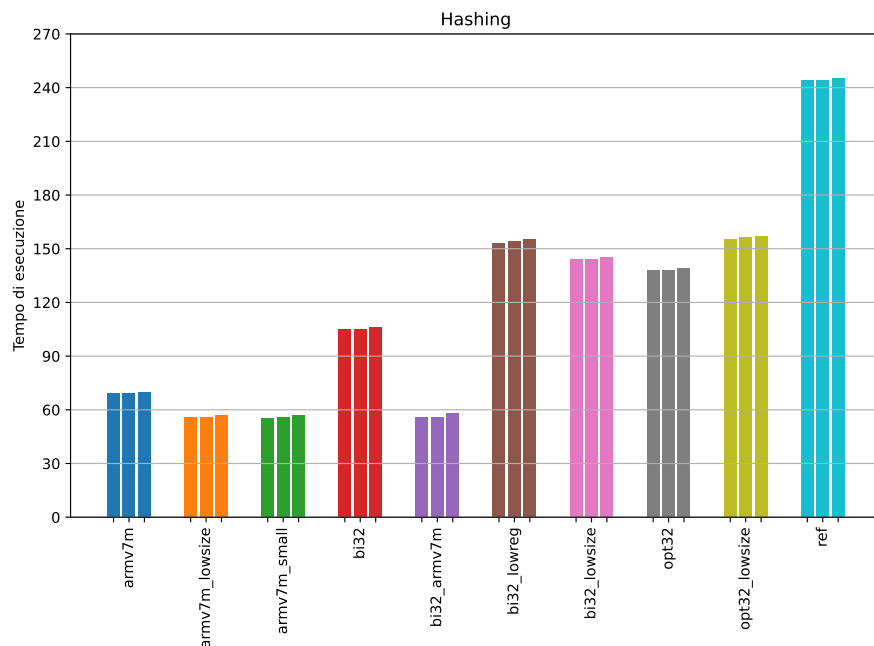
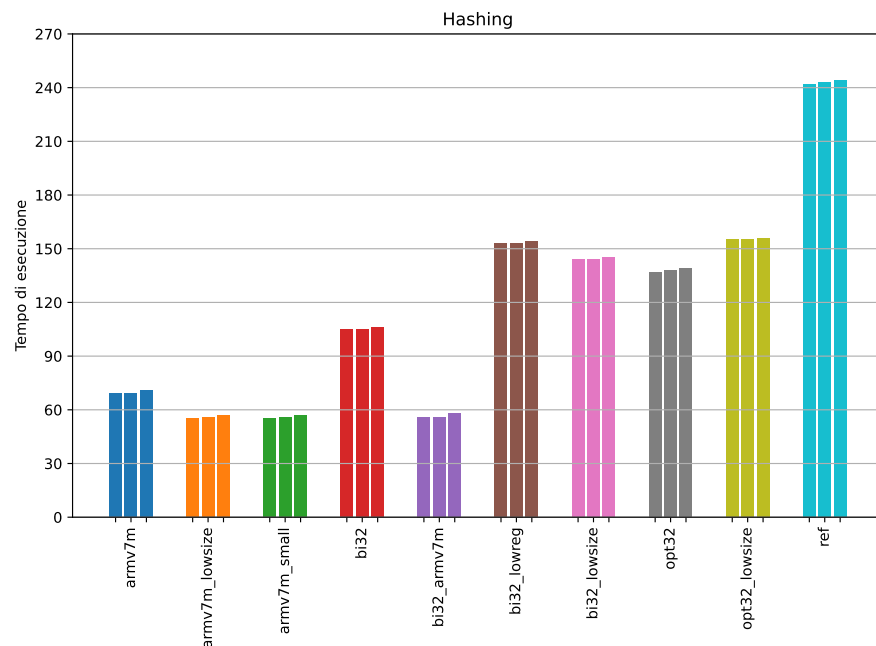


Figura 11: Plaintext di 0 byte con **asconhasha**.

Algoritmi XOF In termini di tempi di esecuzione, le implementazioni **bi32 armv7m**, **armv7m small** e **armv7m lowsize** sono risultate le migliori, con la **bi32 armv7m** che diventa la migliore se la grandezza dei plaintext aumenta, mentre le implementazioni della famiglia **opt32** e **ref** sono risultate le peggiori, anche se quest'ultima è molto più lenta del 24/27% rispetto alle altre.

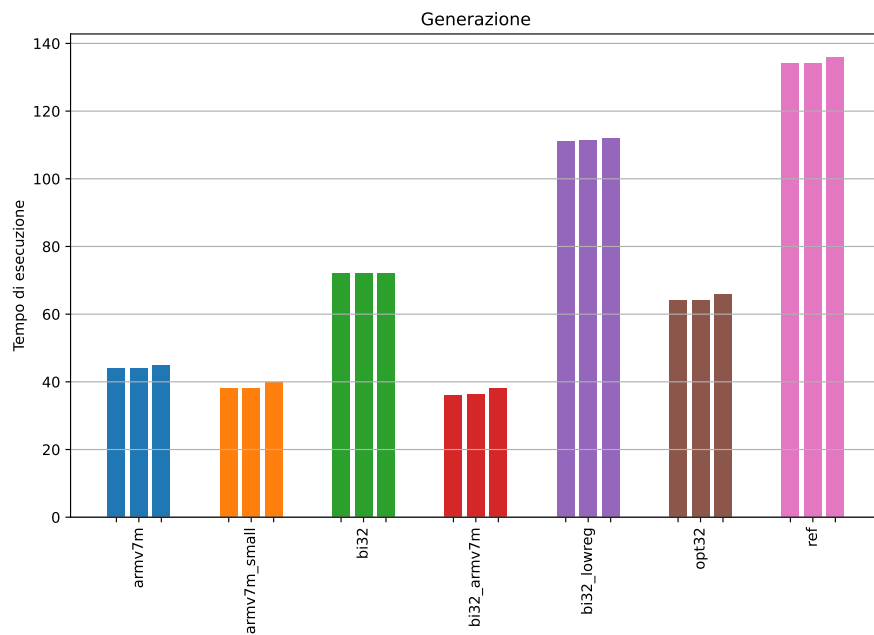
Come prima, per la dimensione dell'eseguibile le implementazioni con **lowsize**, **lowreg** e **small** nel nome sono risultate le migliori in tutte le grandezze di plaintext, seguite poco dopo dalla **bi32 armv7m**, confermando quindi la sua ottima posizione ottenuta nei tempi di esecuzione, e dalla **ref**, che recupera parzialmente la pessima posizione nei tempi di esecuzione. L'implementazione peggiore invece è la **opt32**, il triplo più pesante dell'implementazione migliore.

Figura 12: Plaintext di 0 byte con `asconxofa`.

Crypto auth

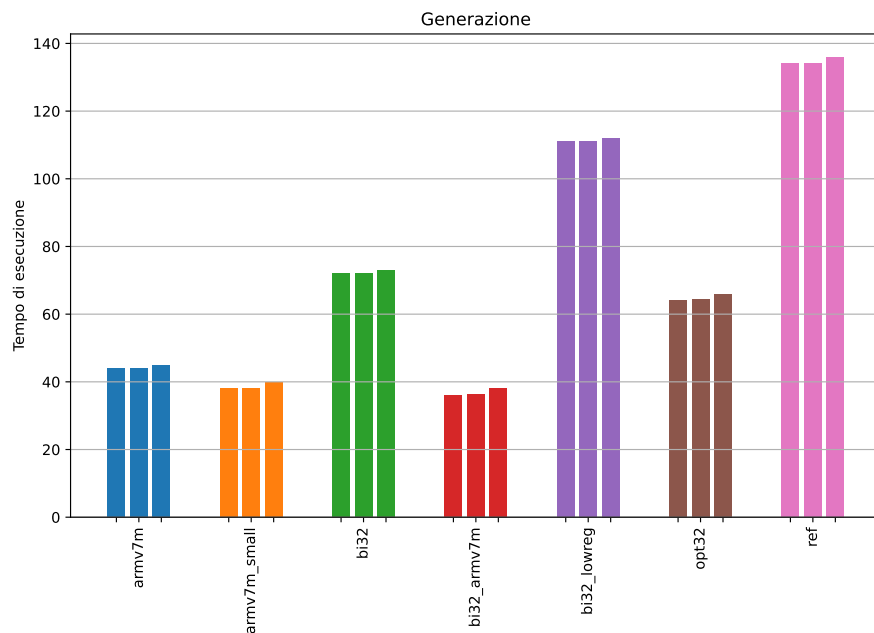
Algoritmi MAC In termini di tempi di esecuzione, le implementazioni `bi32 armv7m`, `armv7m small` e `armv7m` si contendono le prime tre posizioni al variare delle grandezze di plaintext, mentre l'implementazione `ref` è la peggiore.

Considerando la dimensione dell'eseguibile, le implementazioni `armv7m small`, `ref` e `bi32 lowreg` sono le migliori, ma solo la prima può vantare anche ottimi tempi di esecuzione. L'implementazione peggiore invece è la `opt32`, con una dimensione doppia rispetto a quella migliore.

Figura 13: Plaintext di 0 byte con `asconmaca`.

Algoritmi PRF In termini di tempi di esecuzione, le implementazioni `armv7m small` e `bi32 armv7m` sono risultate le migliori in tutte le grandezze di plaintext, con la prima che è più performante su plaintext di grandezza maggiore, mentre l'implementazione `ref` è risultata la peggiore.

Per la dimensione dell'eseguibile, le implementazioni `armv7m small`, `ref` e `bi32 lowreg` sono le migliori, ma solo la prima può anche ottimi tempi di esecuzione. L'implementazione peggiore invece è la `opt32`, con una dimensione quasi tripla rispetto a quella migliore.

Figura 14: Plaintext di 0 byte con `asconprfa`.

Recap finale

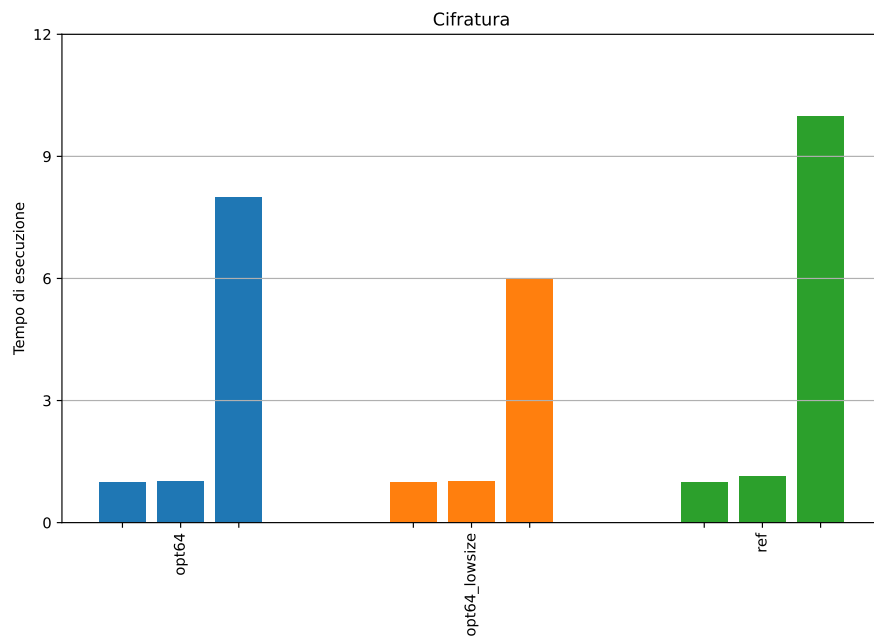
Dalle analisi precedenti, possiamo affermare che le implementazioni `bi32 armv7m` e `armv7m small` sono risultate le migliori in ogni algoritmo considerato, mentre l'implementazione `ref` si è spesso trovata tra le peggiori implementazioni.

4.3.3 Raspberry Pi 3 Model B

Come specificato all'inizio di questo capitolo, i dati per questa board sono influenzati dalla velocità di esecuzione sotto il microsecondo e dalla presenza dello scheduler del sistema operativo. Inoltre, non saranno presenti gli algoritmi `bi32` perché la board possiede un'architettura 64 bit, che non rientra nelle ottimizzazioni fornite da ASCON.

Crypto AEAD

Algoritmi classici In termini di tempi di esecuzione, nessuna implementazione riesce a dominare definitivamente le altre, mentre per la dimensione dell'eseguibile l'implementazione `opt64 lowsize` è risultata la migliore, seguita dalla `ref` e dalla `opt64`, che hanno praticamente la stessa grandezza.

Figura 15: Plaintext di 0 byte con `ascon128a`.

Crypto hash

Algoritmi hash Nei tempi di esecuzione, per grandezze di plaintext ridotte nessuna implementazione domina le altre, mentre le restanti grandezze `opt64` diventa la migliore e `opt64_lowsize` la peggiore.

Considerando invece la dimensione dell'eseguibile, l'implementazione `opt64_lowsize` è risultata la migliore, seguita dalla `ref` e dalla `opt64`, anche se i due valori differiscono di un numero di byte compreso tra 40 e 88.

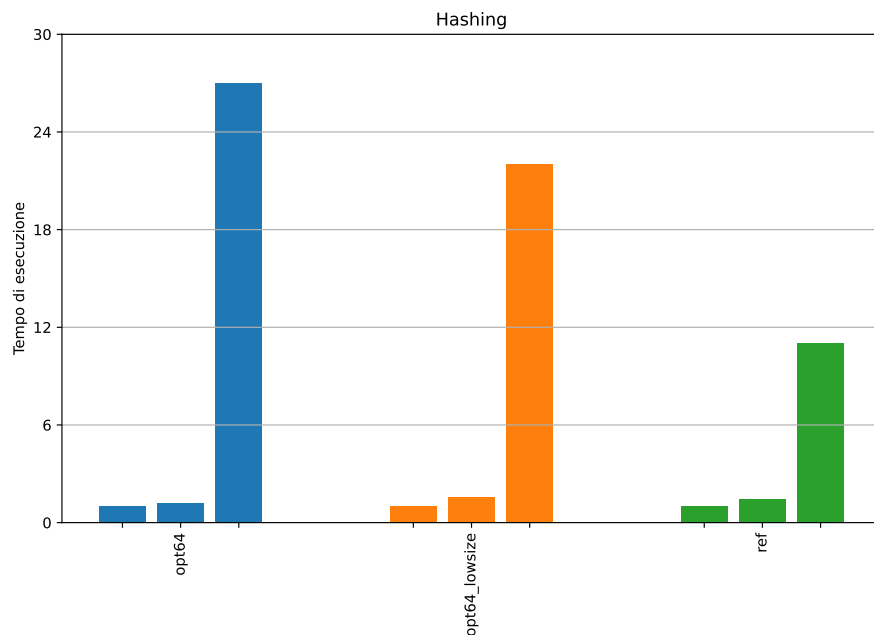


Figura 16: Plaintext di 0 byte con `asconhasha`.

Algoritmi XOF Come per gli algoritmi hash, nei tempi di esecuzione per grandezze di plaintext ridotte nessuna implementazione riesce a dominare le altre, mentre per grandezze maggiori `opt64` diventa la migliore e `opt64_lowsize` diventa la peggiore.

Per la dimensione dell'eseguibile, l'implementazione `opt64_lowsize` è risultata la migliore, seguita dalla `ref` e dalla `opt64`, anche se, come prima, i due valori differiscono di un numero di byte compreso tra 40 e 88.

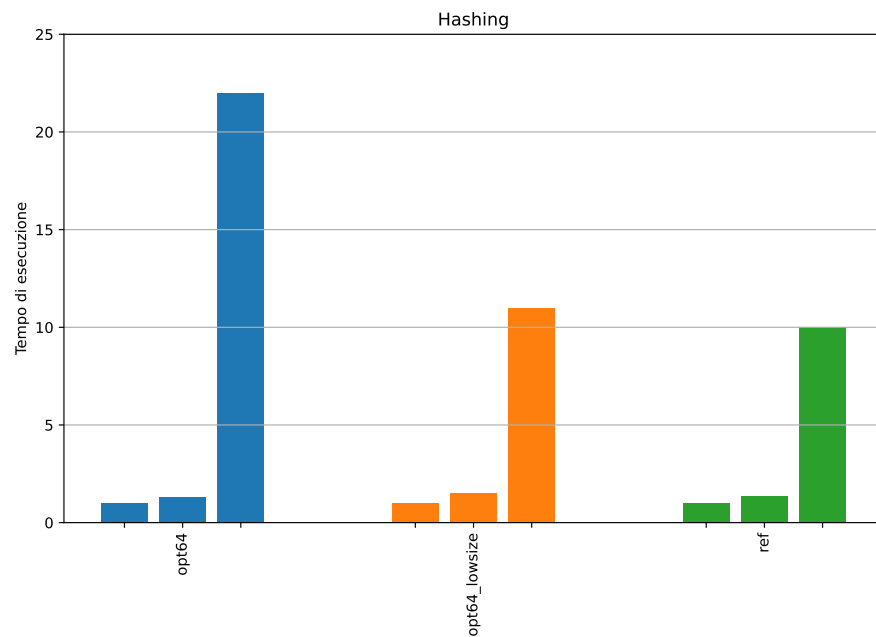
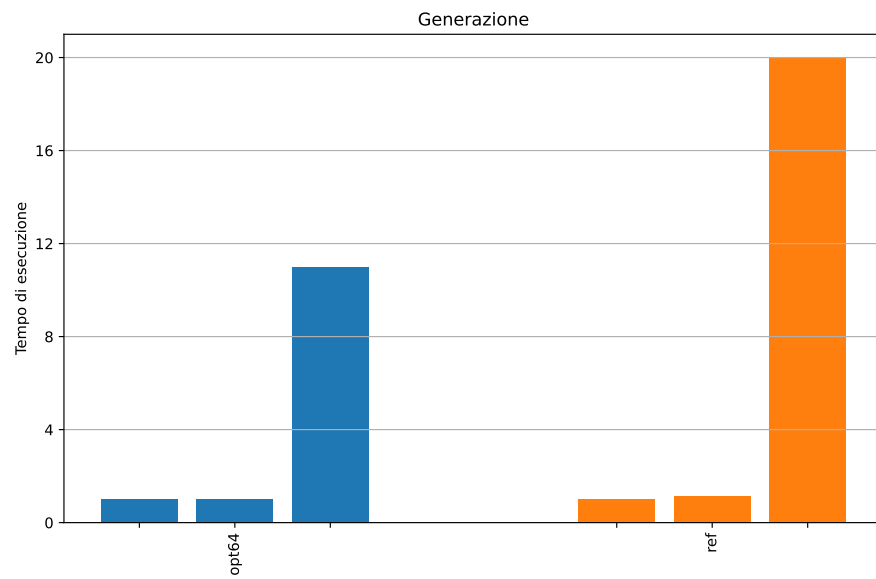


Figura 17: Plaintext di 0 byte con `asconxofa`.

Crypto auth

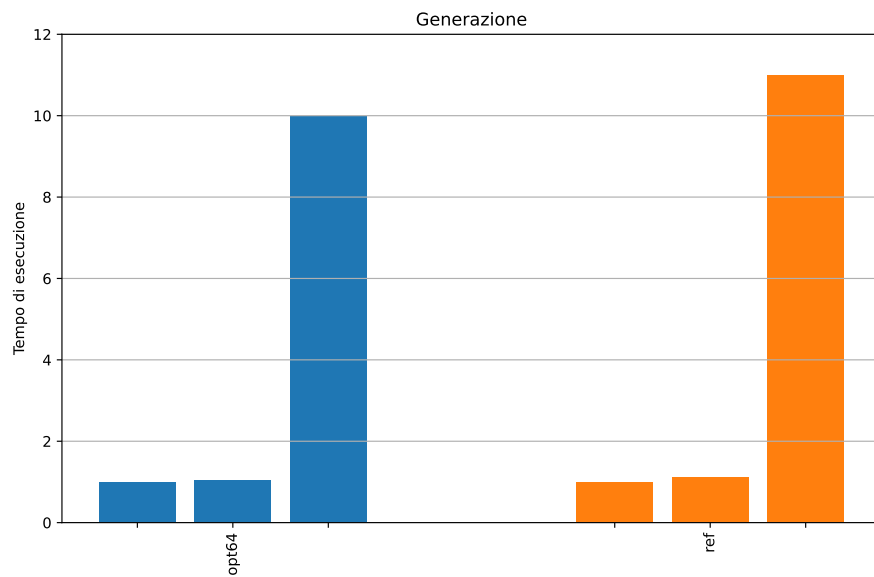
Algoritmi MAC Per grandezze di plaintext ridotte i tempi di esecuzione di ogni implementazione non riescono a dominare gli altri, mentre per grandezze maggiori `opt64` domina le altre e la `ref` diventa la peggiore.

Nello studio della dimensione dell'eseguibile, l'implementazione `ref` è risultata la migliore, seguita dalla `opt64`, che si classifica ultima, anche se i due valori differiscono di un numero di byte compreso tra 24 e 48, quindi le possiamo considerare praticamente allo stesso livello.

Figura 18: Plaintext di 0 byte con `asconmaca`.

Algoritmi PRF In ogni grandezza di plaintext nessuna implementazione riesce a dominare le altre con il proprio tempo di esecuzione.

Considerando invece la dimensione dell'eseguibile, l'implementazione `ref` è risultata la migliore, seguita dalla `opt64`, che si classifica ultima, anche se i due valori differiscono di un numero di byte compreso tra 24 e 48, quindi sono da considerarsi allo stesso livello.

Figura 19: Plaintext di 0 byte con `asconprfa`.

Recap finale

A differenza delle board precedenti, il pool di implementazioni disponibili è molto ridotto, formato infatti dalle sole implementazioni `opt64`, `opt64 lowsize` e `ref`.

Dalle analisi precedenti, l'implementazione `opt64` è la migliore per quanto riguarda i tempi di esecuzione, soprattutto su plaintext di grandezza maggiore. Se l'ottimizzazione va invece verso lo spazio utilizzato, permettendo alcune perdite in termini di tempo di esecuzione, soprattutto sui plaintext di grandezza maggiore l'implementazione `opt64 lowsize` è la scelta migliore. L'implementazione `ref` è “nel mezzo” e non ha senso considerarla, perché:

- Se l'ottimizzazione va verso i tempi di esecuzione, `ref` è più lenta della `opt64` ma con lo stesso spazio utilizzato;
- Se l'ottimizzazione va verso lo spazio utilizzato, `ref` è più pesante della `opt64 lowsize` ma con dei tempi di esecuzione molto simili.

Capitolo 5

Conclusioni

5.1 Risultati ottenuti

Osservando i risultati presentati nel [Capitolo 4](#), la board RaspberryPi è risultata la migliore. Ciò era abbastanza prevedibile dal momento che la potenza del processore della board influisce in maniera consistente sui tempi di esecuzione ottenuti. RaspberryPi, infatti, ha una frequenza di clock 25 volte superiore alla board Adafruit e 12.5 volte superiore a quella di Arduino e questo si ripercuote sui risultati osservati sperimentalmente.

Tra le due board prive di sistema operativo, la migliore è stata quella di Arduino. In questo caso, anche se il processore installato ha una frequenza di clock doppia rispetto a quello di Adafruit, questo “fattore due” non si riflette appieno sui tempi di esecuzione. Infatti, la board Adafruit è 1.5 volte più lenta rispetto alla board Arduino.

I risultati ottenuti mostrano come la famiglia ASCON sia molto veloce e occupi una quantità di spazio ridotta su tutte le board testate. Queste due caratteristiche le hanno consentito di vincere sulla concorrenza e candidarsi come la miglior famiglia di cifrari presente al processo di standardizzazione del NIST.

5.2 Sviluppi futuri

I principali sviluppi futuri si muoveranno in quattro direzioni:

- I. **Raccolta dati** — La fase di testing di tutti gli algoritmi presentati comprenderà l’analisi dei cicli della CPU tramite alcuni file di test forniti da ASCON nel loro repository Github[2];

II. **Board** — La fase di testing riguarderà altri dispositivi IoT. Infatti, il testing non è avvenuto su alcune architetture – tra le quali:

- ARMv6 e ARM neon per quanto riguarda le architetture ARM;
- ESP32 a 32 bit;
- AVX512 a 320 bit;
- AVR a 8 bit;
- RV32I a 32 bit;
- RV32B a 32 bit.

III. **Grandezze di plaintext** — La fase di testing verrà estesa a grandezze di plaintext maggiori, come file che codificano immagini o video;

IV. **Testing automatico** — La fase di testing verrà resa automatica, realizzando degli script che vadano a testare in sequenza i vari algoritmi usando, ad esempio, l'Arduino IDE dal terminale e non tramite la GUI.

Ringraziamenti

Scrivo queste parole in conclusione di un percorso lungo e pieno di difficoltà, ma che grazie a moltissime persone è finito nel migliore dei modi: mi sono laureato. Se mi avessero detto, a giugno 2020, che mi sarei laureato tre anni e mezzo dopo non ci avrei mai creduto. Mi ero appena ritirato da Matematica, avevo passato il TOLC per entrare ad Informatica ma non riuscivo ad immatricolarmi. La prima persona che ringrazio è la signora della segreteria che mi ha tenuto compagnia per 45 minuti per cercare di risolvere i miei problemi, grazie a lei sono qui e non al McDonald di Caravaggio a imbustare nuggets e imprecare verso i maranza.

Ringrazio profondamente il mio relatore, il Prof. Andrea Visconti, che mi ha assegnato un lavoro di tirocinio molto interessante e attuale sul quale lavorare, e che si è sempre reso disponibile per rispondere a dubbi e problemi con incontri – alcuni molto *esotici* come quello su Zoom in metro – e una serie infinita di mail. Le sue lezioni di Crittografia e Teoria dell’Informazione mi hanno trasmesso la passione per la crittografia e tutto ciò che c’è di teorico nel mondo informatico.

Non posso non ringraziare la banda di matti che ho conosciuto nel mio percorso universitario. Dopo la brutta esperienza a Matematica, dove ho fatto fatica a integrarmi con i compagni, la paura di fare la stessa fine anche qua era alta, ma così non è stato. Ci siamo conosciuti (*quasi*) tutti su Telegram e Discord, ma questo era quello che offriva la pandemia. E forse, tutto questo è stato un bene: conoscendomi, a fatica avrei fatto amicizia con così tanta gente entrato in un’aula con dentro 250 persone. Ringrazio quindi Aceti, Albi, Alessia, Armani, Asaf, Buso, Caro, Ceri, Edu, Faro, Frido, Gigi, Mangio (*quello vero*), Mangio (*quello falso*), Manto, Mirko (*er*) Faina, Mirko Seghezzi, Moro, Recca, Sarti, Silvio, Tella, Vincenzo, Yeger e Yon. Non potevo chiedere compagni migliori, mi avete accolto dal primo momento e ora siete ancora qua, con me, per festeggiare questo traguardo.

Ringrazio Gaetano e Charif, gli unici amici che ho avuto a Matematica, grazie per tutte le ore passate in biblioteca a studiare per gli esami (*passati 1 su 8*) e per le pizze in Piazza Leo tra una lezione e l’altra. Ringrazio anche tutte le persone

che ho conosciuto grazie ai miei compagni di università, soprattutto Samu, con il quale ho condiviso una vacanza pazzissima in Croazia, e Grazia, che ha segnato nel bene e nel male il mio percorso durante tutto il secondo anno.

Ringrazio i miei compagni di classe delle superiori, quelli che sono rimasti in contatto con me anche dopo la maturità, con i quali mi sono incontrato ogni tanto negli anni per rivivere “i bei vecchi tempi”. Ringrazio quindi Botta, Ceres, Elena, Ferro, Gara, Mangio (*il terzo, unico e inimitabile*) e Vaila. Ringrazio anche Antonio, il Gargiu, che so che da lassù mi sta guardando e sta tifando per me. Sempre delle superiori voglio ringraziare il Prof. Bellavita, per avermi trasmesso la passione per l’Informatica, la Prof.ssa Bolzoni e, successivamente, la Prof.ssa Delmari, per avermi reso dipendente dalla Matematica, e il Prof. Bardelli, perché mi manda ogni anno gli auguri di Natale e Pasqua.

Ringrazio tutti i miei amici, compaesani e non, che mi conoscono da una vita e non sono ancora finiti in una clinica psichiatrica per colpa mia. Siete degli amici fantastici, ci siete sempre stati per me e spero di avervi per sempre nella mia vita. In questi anni mi siete stati vicini quando alcuni esami non andavano bene ed esultavate con me quando invece andavano bene, parte di questo traguardo è merito vostro. Ringrazio quindi Andrea e Carol, Adele e Rek, Arianna, Lisa, Deep, Biga, Delia, Chiara, Francesca, Laura, Davide e ~~Elena~~ Martina, Luca Maestri, Manpreet, Miriam e RSP.

In particolare, ringrazio i Roggiani, i miei fratelli, Luca (*RR19*) e Mastro (*RR17*), grazie per tutto quello che fate per me ogni giorno, per non abbandonarmi in palestra ad orari improponibili, per rendermi la persona più felice del mondo e per farmi sentire a casa ogni volta che sono con voi. Ringrazio il Tunet, che assieme al Ciapa mi liberava la mente ogni sera per 2h durante il periodo delle zone Power Ranger e mi ha tenuto compagnia per tutto il periodo universitario tra treni cancellati o perennemente in ritardo. Ringrazio Vittorio, unico (*polipopi-ingegnere*) informatico che la mattina sul treno mi ascolta e non fa una faccia schifata perché non capisce quello che dico, autore del 99% delle correzioni fatte nella mia tesi, *é* stato importantissimo nella parte finale del mio percorso. Ringrazio Giacomo, il mio gymbro, il mio cioccolatino ripieno, il mio pookie, grazie per non avermi abbandonato ogni volta che volevo andare ad allenarmi ad orari proibitivi, per aver ascoltato (*e non aver capito*) ogni argomento che facevo a lezione o quello che facevo durante il tirocinio, per tutti gli sgarri fatti dopo 2h chiusi in palestra con Chiara che aspettava solo di tornare a casa, per tutti i concerti che fai ogni tre secondi dove crei ogni volta una parodia diversa, per essere il giocatore più scarso di Clash Royale, grazie veramente per tutto, *you are my sunshine*. Ringrazio

Don Emanuele, per tutte le volte che mi ha aiutato, supportato e “impegnato” le giornate tra muratori, contabilità e spostamento mobili. Ringrazio il Gippe, che appena ha saputo della mia iscrizione a Informatica ha subito cercato di indirizzarmi sui binari giusti e tifava per me ad ogni esame. Ringrazio tutti gli animatori del Grest, che durante la sessione estiva mi alleggerivano le giornate pesanti di studio facendomi divertire come solo loro sono capaci. Ringrazio tutti i miei gymbro della palestra di Treviglio, soprattutto Francesco, che non vede l’ora di avere una copia della mia tesi per fare una cosa che solo lui sa.

Ringrazio Martina, la mia ragazza, grazie per esserci stata in questi ultimi anni, per il continuo supporto che mi dai ogni giorno, per sopportare ogni cosa stupida che faccio, per tutte le esperienze fantastiche che abbiamo fatto assieme, per aver ascoltato ogni mio audio di 25 minuti dove ripetevo allo sfinimento gli argomenti dei vari esami, per essermi stata vicina ogni volta che piangevo perché un esame non andava bene o accumulavo troppa ansia, per aver esultato ogni volta che “HO SISTEMATO IL CODICE, ORA FUNZIONA” (*avevo dimenticato una virgola, non so programmare*), grazie per essere semplicemente te.

Infine, ringrazio la mia famiglia. Ringrazio mamma Barbara e papà Marco per tutte le volte che mi hanno accompagnato nelle stazioni della bassa cremasca per prendere il treno, per tutte le volte che mi hanno aiutato preparandomi il pranzo o la cena quando ero in ritardo con i miei impegni, per il continuo e immancabile supporto ogni volta che si avvicinava la sessione, per tutto quello che han fatto per me in questi 23 anni, per avermi dato una seconda opportunità dopo la brutta esperienza a Matematica, grazie veramente, so che molto spesso non lo dimostro, ma sono orgogliosissimo di avere due genitori così fantastici. Ringrazio mia sorella Eva, per tutte le volte che ha messo la musica a volume 100 quando dovevo studiare, per tutti i “mi accompagni di qua?” ogni volta che avevo un impegno immediato da sbrigare, per tutti i “io esco alle 3 dalla disco, vieni a prendermi?” ogni volta che volevo dormire, ma anche per tutti i bei momenti che abbiamo passato assieme negli ultimi anni. Vi ringrazio di cuore, vivere con me non è facile visto che sono molto chiuso e sto molto sulle mie, ma sappiate che vi voglio veramente bene e sono grato di ogni momento passato assieme. Ringrazio i nonni Antonia, Antonio, Carolina e la bisnonna Carla. Ringrazio gli zii Annalisa, Tiziana, Wilma, Eleonora e Simone, Goffredo e Jessica. E per concludere, ringrazio i fantastici cugini Cristiano, Federico, Giorgia, Gianella, Elisa e Alessia.

Ringrazio tutti di cuore, grazie per esserci stati, e grazie a tutti quelli che ci saranno nei miei prossimi traguardi.

Bibliografia

- [1] *Lightweight Cryptography - Overview*. URL: <https://csrc.nist.gov/Projects/Lightweight-Cryptography> (visitato il 19/03/2024).
- [2] *Repository Github di ASCON*. URL: <https://github.com/ascon/ascon-c> (visitato il 04/03/2024).
- [3] *What is the IoT? - Introduction*. URL: <https://www.ibm.com/topics/internet-of-things> (visitato il 11/03/2024).
- [4] *Che cos'è l'IoT?* URL: <https://www.oracle.com/it/internet-of-things/what-is-iot/#industries-iot> (visitato il 12/03/2024).
- [5] *Sistemi embedded: cosa sono e a cosa servono*. URL: <https://www.internet4things.it/iot-library/sistemi-embedded-cosa-sono-e-a-cosa-servono/> (visitato il 12/03/2024).
- [6] *Cos'è l'HCP?* URL: <https://www.ibm.com/it-it/topics/hpc> (visitato il 11/03/2024).
- [7] *Introduction to IoT - Advantages of IoT*. URL: <https://arxiv.org/pdf/2312.06689.pdf> (visitato il 11/03/2024).
- [8] *What is the IoT? - Risks and challenges in IoT*. URL: <https://www.ibm.com/topics/internet-of-things> (visitato il 11/03/2024).
- [9] *Introduction to IoT - Challenges and Future Directions*. URL: <https://arxiv.org/pdf/2312.06689.pdf> (visitato il 11/03/2024).
- [10] *Ascon overview*. URL: <https://ascon.iaik.tugraz.at/index.html> (visitato il 27/02/2024).
- [11] *Lightweight Cryptography - Timeline*. URL: <https://csrc.nist.gov/projects/lightweight-cryptography/timeline> (visitato il 19/03/2024).
- [12] *Lightweight Cryptography - Round 1*. URL: <https://csrc.nist.gov/Projects/lightweight-cryptography/round-1-candidates> (visitato il 19/03/2024).

- [13] *Lightweight Cryptography - Round 2*. URL: <https://csrc.nist.gov/Projects/lightweight-cryptography/round-2-candidates> (visitato il 19/03/2024).
- [14] *Ascon contact*. URL: <https://ascon.iaik.tugraz.at/contact.html> (visitato il 27/02/2024).
- [15] *Ascon specification*. URL: <https://ascon.iaik.tugraz.at/specification.html> (visitato il 03/04/2024).
- [16] *The Ascon Family: Lightweight Authenticated Encryption, Hashing, and More*. URL: <https://csrc.nist.gov/csrc/media/Presentations/2023/the-ascon-family/images-media/june-21-mendel-the-ascon-family.pdf> (visitato il 04/03/2024).
- [17] *Adafruit ItsyBitsy M0 Express*. URL: <https://www.adafruit.com/product/3727> (visitato il 28/08/2023).
- [18] *List of ARM processors*. URL: https://en.wikipedia.org/wiki/List_of_ARM_processors (visitato il 28/09/2023).
- [19] *Arduino Due*. URL: <https://docs.arduino.cc/hardware/due/> (visitato il 18/03/2024).
- [20] *RaspberryPi model 3B*. URL: <https://www.raspberrypi.com/products/raspberry-pi-3-model-b/> (visitato il 11/11/2023).